

Министерство высшего и среднего специального образования РСФСР

Горьковский ордена Трудового Красного Знамени  
научно-исследовательский радиофизический институт (НИРФИ)

Препринт № 162

**НАГРЕВ НИЖНЕЙ ИОНОСФЕРЫ КОРОТКОВОЛНОВЫМ РАДИОИЗЛУЧЕНИЕМ**

М. А. Иткина  
Д. С. Котик  
З. Н. Кротова  
С. В. Поляков  
В. О. Рапопорт

Горький 1983

УДК 551.510.535

Приведены результаты теоретических расчётов характера изменений физических параметров нижней ионосферы под действием мощного радиоизлучения на частотах декаметрового диапазона. Показано, что все ионосферные исследования нелинейных эффектов следует проводить с учётом влияния вариаций поглощения радиоволн в нижней ионосфере в соответствии с мощностью и рабочей частотой передатчика, а также в зависимости от времени суток, сезона и других геофизических условий.

Измерения и теоретические оценки степени модификации параметров нижней ионосферы под действием мощного радиоизлучения интересуют в настоящее время большую группу исследователей. Этот интерес обусловлен не только стремлением понять сложную картину физико-химических процессов в условиях возмущения ионосферной плазмы, но и стимулируется также необходимостью иметь количественные характеристики энергии радиоизлучения, поглощаемой в нижней части ионосферы, при исследованиях явлений в F-области.

Многие ионосферные явления, изучаемые радиофизическими методами, рассматриваются до сих пор без учёта влияния поглощения радиоволн в области D. Такой традиционный подход пригоден только для радиоволн малой мощности. Увеличение мощности радиоизлучения приводит к изменениям величин частоты соударений электронов с молекулами и электронной концентрации в нижней ионосфере. Эти изменения различны на разных высотах D-области. Они вызывают заметные изменения высотного хода поглощения и его величины. Влияние D-области на мощное КВ радиоизлучение особенно существенно в дневное время и в периоды ионосферных возмущений. Поэтому все ионосферные исследования нелинейных эффектов необходимо проводить с учётом вариаций поглощения в нижней ионосфере в соответствии с мощностью и рабочей частотой передатчика, а также в зависимости от времени суток, сезона, солнечной активности и других геофизических условий.

Приводимые ниже результаты теоретических расчетов относятся к известным моделям дневной и ночной ионосферы [I]. Численные расчёты выполнены на ЭВМ БЭСМ-6.

При облучении ионосферы мощным коротковолновым сигналом происходит нагрев электронной компоненты плазмы и образуются неоднородности электронной концентрации. Характерные времена этих двух процессов в нижней ионосфере существенно различаются. Время нагрева определяется скоростью передачи энергии от электронов нейтральным частицам при соударениях:  $\tau \sim (\delta\nu)^{-1}$ , где  $\nu$  - эффективная частота соудар-

рений электронов с молекулами,  $\delta$  - доля энергии, теряемая электроном при каждом соударении. Величина  $\tau$  для нижней ионосферы  $\sim 10^{-4} - 10^{-3}$  секунд. Времена образования неоднородностей определяются скоростями процессов прилипания, рекомбинации и диффузии. В  $\mathfrak{D}$ -области ионосферы они составляют от  $10^{-1}$  до  $10^2$  секунд. Поскольку отношение характерных времён нагрева и разъятия неоднородностей составляет несколько порядков, то эти процессы можно рассматривать независимо друг от друга.

Теоретическая задача о нагреве электронной компоненты плазмы состоит в решении системы двух уравнений: уравнения переноса энергии КВ радиоволн и уравнения теплового баланса [1, 2]. В приближении геометрической оптики при квазипротодольном распространении радиоволн эта система уравнений для стационарных условий может быть сведена к следующей:

$$\frac{dW}{dz} + \left( \frac{1}{n} \frac{dn}{dz} + \frac{2}{z} + \frac{2\omega}{c} \right) W = 0; \quad (1)$$

$$(T - T_0) \sum_i \frac{dv_i}{dt} = \frac{4}{3} \frac{e^2}{mk} \frac{\omega}{\omega_0^2} n \alpha W; \quad (2)$$

где

$$W = E E^* = \frac{E_0^2}{z^2 n} \exp \left( - \frac{2\omega}{c} \int_{z_0}^z z \, dz \right), \quad (3)$$

$E$  - амплитуда поля в ионосфере на расстоянии  $z$  от поверхности Земли,  $E_0$  - амплитуда поля волны, падающей на нижнюю границу ионосферы  $z_0$ ,  $n$  и  $\alpha$  - коэффициенты преломления и поглощения,  $\omega$  - частота волны,  $\omega_0$  - плазменная частота ионосферы,  $T$  - электронная температура,  $T_0$  - температура молекул,  $\sum_i \frac{dv_i}{dt}$  - суммарная скорость потерь энергии электронами при их соударениях с нейтралами, константы  $c$ ,  $k$ ,  $e$ ,  $m$  - соответственно скорость света, постоянная Больцмана, заряд и масса электрона.

Коэффициенты преломления и поглощения  $n$  и  $\alpha$  в уравнениях (1), (2) определяются известными соотношениями [3]:

$$n - i\alpha = 1 - \frac{v}{1 \pm \sqrt{1 - \cos d - i s}}; \quad (4)$$

$$n^2 - \alpha^2 = 1 - \frac{\omega_0^2}{\omega} \frac{\omega \pm \omega_L}{(\omega \pm \omega_L)^2 + v^2}; \quad (5)$$

$$2n\alpha = \frac{4\pi\sigma}{\omega} = \frac{\omega_0^2}{\omega} \frac{v}{(\omega \pm \omega_L)^2 + v^2}, \quad (6)$$

где  $\omega_L = \omega_H \cos \alpha$ ,  $\omega_H$  - гирочастота электронов,  $v = \omega_0^2 / \omega^2$ ,  $u = \omega_H^2 / \omega^2$ ,  $s = v / \omega$ ,  $\sigma$  - проводимость плазмы, знак "+" в формулах (4)-(6) соответствует обыкновенной компоненте, знак "-" - необыкновенной,  $\alpha$  - угол между направлением геомагнитного поля и вертикалью (для г. Горького  $\alpha = 19,5^\circ$ ).

Для справедливости соотношений (4)-(6) достаточно выполнности следующих условий квазипродольного распространения радиоволны [3]:

$$\frac{u \sin^4 \alpha}{4 \cos^2 \alpha} >> (1-v)^2 + s^2, \quad (7)$$

$$|1 - \sqrt{u} |\cos \alpha| | >> \frac{(1+v) u \sin^2 \alpha}{2[(1-v)^2 + s^2]} \quad (8)$$

На средних широтах в области высот, где  $\omega > \omega_0$  (вдали от уровня отражения), эти условия выполняются и коэффициент отражения практически не отличается от единицы (наибольшие отклонения  $n$  от 1 соответствуют частотам  $\omega \sim \omega_H$  и не превышают 5%). Для низких частот ( $\omega \sim \omega_H$ ) недостаточно строго соблюдается условие (8), что приводит к искажению показателя поглощения  $\alpha$  при расчётах по формулам (4)-(6). Поэтому в диапазоне частот  $\omega$ , сравнимых с  $\omega_H$ , показатель  $\alpha$  определялся из общей формулы [3]:

$$(n - i\alpha)^2 = n^2 - \alpha^2 - 2in\alpha = \quad (9)$$

$$= \frac{2v(1-is-v)}{2(1-is)(1-is-v) - u \sin^2 \alpha \pm \sqrt{u^2 \sin^4 \alpha + 4u \cos^2 \alpha (1-is-v)^2}}$$

Коэффициент  $\Pi$  в уравнениях (I), (2) можно для рассматриваемых условий считать равным I. Показатель же зависит от частоты  $\omega$  и от электронной температуры, поскольку функцией температуры является эффективная частота соударений [1]

$$\nu = \nu_0 \left( \frac{T}{T_0} \right)^{5/6}. \quad (10)$$

Суммарная скорость потерь энергии  $\sum_i \frac{dU_i}{dt}$  определена в [1] через эффективную частоту соударений  $\nu$  и долю энергии  $\delta$ , теряемую электроном при каждом соударении:  $\sum_i \frac{dU_i}{dt} = \delta \nu$ . Мы определяли  $\sum_i \frac{dU_i}{dt}$  для нижней ионосферы как сумму потерь на возбуждение вращательных уровней молекул, на тонкоструктурные переходы в атомах кислорода, на упругие соударения и на возбуждение колебательных уровней молекул:

$$\sum_{i=1}^4 \frac{dU_i}{dt} = \left( \frac{dU}{dt} \right)_{\text{вр}} + \left( \frac{dU}{dt} \right)_{\text{тсп}} + \left( \frac{dU}{dt} \right)_{\text{чпр}} + \left( \frac{dU}{dt} \right)_{\text{кол}}. \quad (II)$$

Аналитические выражения для первых трёх слагаемых в (II) взяты из работы [4]:

$$\left( \frac{dU}{dt} \right)_{\text{вр}} = 7,73 \cdot 10^{11} \cdot T^{-1/2} (2,9[N_2] + 6,9[O_2]); \quad (I2)$$

$$\left( \frac{dU}{dt} \right)_{\text{тсп}} = 2,62 \cdot 10^{-8} \cdot T_0 [O] (1 - 7 \cdot 10^{-5} T); \quad (I3)$$

$$\left( \frac{dU}{dt} \right)_{\text{чпр}} = 1,39 \cdot 10^{-15} \cdot T [N_2] (1 - 1,21 \cdot 10^{-4} T) + \quad (I4)$$

$$+ 9,25 \cdot 10^{-15} \cdot T^{1/2} [O_2] (1 + 3,6 \cdot 10^{-2} T).$$

Выражение для  $\left( \frac{dU}{dt} \right)_{\text{кол}}$  получено нами путём аппроксимации результатов работы [5] в диапазоне температур от 700 до  $10^4$  °К:

$$\left( \frac{dU}{dt} \right)_{\text{кол}} = \begin{cases} 0, & \text{если } T < 700 \text{°К} \\ 10^{-19} [N_2] \cdot T^{5/2}, & \text{если } T \geq 700 \text{°К} \end{cases} \quad (I5)^+$$

<sup>+) В формулах (I2)–(I5) температура выражена в °К, а концентрации нейтральных компонент в см<sup>-3</sup>.</sup>

В областях низких и высоких температур расчетные значения  $\delta(T)$  практически совпадают с полученными в работе [5].

В интервале температур  $T = 500 - 2000^{\circ}\text{K}$  значения  $\delta(T)$  уточнены за счёт потерь при упругих соударениях электронов с молекулами. Высотные распределения температуры молекул  $T_0$ , электронной концентрации  $N_0$ , частоты соударений, а также концентраций молекул кислорода [ $O_2$ ], азота [ $N_2$ ] и атомов кислорода [ $O$ ] взяты из [1].

Уравнение (1) в стационарном состоянии не зависит от времени ( $\frac{dW}{dt} = 0$ ). В уравнении (2) мы пренебрегли изменениями температуры по времени ( $dT/dt = 0$ ). Такое приближение вполне допустимо для высот нижней ионосферы, где время установления электронной температуры составляет  $t \approx 10^{-4} - 10^{-3}$  с.

Таким образом, задача о нагреве электронной компоненты ионосферной плазмы на высотах  $\mathcal{D}$ -области была сведена к решению системы двух не зависящих от времени уравнений (1), (2). В качестве граничного условия задавалась амплитуда поля  $E_0$  на высоте  $Z_0 = 50$  км. В отсутствие нагрева электронная температура  $T = T_0$ .

При описании изменений электронной концентрации в нижней ионосфере не учитывались процессы дифузии, а также механизмы ионизации и рекомбинации, существенные в очень сильных полях. Учёт процессов, существенных в сильных полях, выполнен в работе [6] для стационарных условий. Здесь так же, как в работе [7], решается нестационарное уравнение

$$(1 + \lambda) \frac{dN}{dt} = Q - \Psi N^2, \quad (16)$$

где  $Q$  – функция ионообразования,  $\Psi$  – коэффициент потерь электронов. Принятая в расчетах модель  $\Psi$  имеет вид [8]

$$\Psi = (1 + \lambda) \left[ \alpha_d + \lambda \alpha_i + \frac{c_6^+}{N} \alpha_{cs} + \frac{\beta - \lambda \gamma}{N} \right]. \quad (17)$$

Модель (17) учитывает основные процессы потерь электронов в дневной нижней ионосфере.<sup>+)</sup> Она включает два сорта положительных ионов (первичные и связки) и отрицательные ионы одного сорта (параметр  $\lambda$ ). Стабильные отрицательные ионы не рассматриваются. Учтена также зависимость коэффициента потерь от степени ионизации [8].

<sup>+) Модель (17) содержит меньше исходных параметров, чем 6-ионная модель, использованная при аналогичных расчётах в работе [9].</sup>

В модели (I7) учтены высотное распределение ионов-связок и высотно-временная зависимость относительной концентрации отрицательных ионов. Относительная концентрация ионов-связок в (I7) описывается соотношением [8].

$$\frac{c b^+}{N} = \frac{C}{C + N(1 + \lambda)}, \quad (I8)$$

где С - параметр, характеризующий суммарную концентрацию нейтральных и заряженных связок ( $C = 10^3 \text{ см}^{-3}$ ). Относительная концентрация отрицательных ионов  $\lambda$  находится из решения следующего дифференциального уравнения:

$$\frac{d\lambda}{dt} = (1 + \lambda)\beta - \lambda\gamma(1 + \lambda), \quad (I9)$$

где предполагается, что баланс  $\lambda$  определяется прилипанием и отлипанием.

Решение уравнения (I9) имеет вид

$$\lambda = \frac{\frac{\beta}{\gamma}(\beta_0 + \gamma) - (\beta - \beta_0)e^{-(\beta+\gamma)t}}{\beta_0 + \gamma + (\beta - \beta_0)e^{-(\beta+\gamma)t}}, \quad (20)$$

$\beta_0 = 1,4 \cdot 10^{-29} [\text{O}_2]^2 \cdot \frac{300}{T_0} \cdot e^{-\frac{600}{T_0}}$  - константа прилипания в отсутствие нагрева,  $\beta = \beta_0 \cdot \frac{m}{T} \exp\left(\frac{700}{T_0} - \frac{700}{T}\right)$  - константа прилипания при нагреве,  $\gamma$  - константа отлипания.

Константы рекомбинации предполагаются зависящими от электронной температуры:

$$\alpha_d = 3 \cdot 10^{-7} \left(\frac{T}{T_0}\right)^{-1} \quad \text{- коэффициент диссоциативной рекомбинации}$$

первичных ионов,

$$\alpha_{cb} = 10^{-5} \left(\frac{T}{T_0}\right)^{-0.5} \quad \text{- коэффициент рекомбинации связок,}$$

$$\alpha_i = 10^{-7} \left(\frac{T}{T_0}\right)^{-1} \quad \text{- коэффициент взаимной нейтрализации по-}$$

ложительных и отрицательных ионов.

При решении уравнения (I6) задавался высотный профиль электронной температуры  $T(z)$ , полученный в результате решения системы

уравнений (1),(2). В качестве начального условия принималось невозмущенное распределение электронной концентрации.

Основные результаты расчётов нагревных эффектов по предлагаемой методике качественно совпадают с результатами работ [9, 10]. В настоящей работе проведён более подробный анализ характера изменений физических параметров нижней ионосферы в зависимости от мощностей и рабочих частот передатчика, а также от времени суток.

При фиксированной мощности эффективность нагрева для определённых ионосферных условий имеет свою частотную зависимость на каждой высоте. Иначе говоря, для каждой высоты можно выбрать частоту и поляризацию, при которых нагрев будет наибольшим. Область максимального нагрева расположена на высотах, где сильнее поглощается энергия греющей радиоволны, т.е. при условии  $\omega \pm \omega_n \approx \nu$ . При нагреве величина  $\nu$  возрастает, и область сильного поглощения мощной волны смещается по высоте вверх. Этот эффект проявляется при сильном нагреве как в дневных, так и в ночных условиях.

Величина максимума  $\Delta T/T_0$  при нагреве на низких частотах значительно больше для необыкновенной компоненты, чем для обыкновенной. С увеличением рабочей частоты уменьшаются как значения  $\Delta T/T_0$ , так и различия эффектов нагрева для разных поляризаций.

В дневных условиях сильное поглощение радиоволн в нижней части области  $\mathcal{D}$  препятствует нагреву более высоких слоев ионосферы. При работе на частотах  $f \approx 1 + 10$  МГц область максимального нагрева днем расположена на высотах 70 - 80 км.

В ночных условиях нагрев электронной компоненты ионосферной плазмы оказывается значительно более эффективным, чем в дневных. Изменения электронной температуры ночью происходят в большем диапазоне высот, а величина этих изменений существенно превосходит дневные значения. Это связано со слабым поглощением мощной волны в нижней части ночной  $\mathcal{D}$ -области. Кроме значительных количественных различий между дневным и ночным нагревом проявляются и качественные особенности ночной модели. Так, при относительно небольших эффективных мощностях нагрева на частотах, сравнимых с частотами соударений в нижней части области  $\mathcal{D}$ , обнаруживаются два максимума в ночном профиле  $\frac{\Delta T}{T_0}(z)$ . Для частот  $f \approx 1,2 - 1,4$  МГц (О-компонент) такой высотный ход отмечается при мощностях  $W \approx 30 + 50$  МВт. С увеличением эффективной мощности область, где  $\omega \pm \omega_n \approx \nu$ , несколько смещается вверх, и профиль  $\Delta T/T_0(z)$  приобретает типичный вид с одним максимумом.

Изменения дневной электронной концентрации при нагреве различны на разных высотах. Ниже 2~70 км величина  $N$  уменьшается в первые же секунды нагрева из-за температурной зависимости коэффициента прилипания. Выше 70 км электронная концентрация возрастает в течение нескольких минут вследствие уменьшения с ростом температуры констант рекомбинации. Время установления стационарных значений  $N$  выше 70 км зависит от мощности. С увеличением мощности оно уменьшается. В диапазоне рассматриваемых мощностей ( $I = 300$  МВт) оно изменяется примерно от 10 до 1-2 минут.

Характер изменений ночных профилей  $N(z)$  зависит от состава ночной ионосферы. В модели ночной  $\mathfrak{D}$ -области следовало бы учесть более сложные ионы-связки и стабильные отрицательные ионы в виде самостоятельных компонент. В настоящей работе изменения электронной концентрации при ночном нагреве не анализировались.

Доля излучения, проходящего на высоты, превышающие 100 км, зависит от мощности и рабочей частоты. В дневных условиях на частотах  $f \approx 2 + 9$  МГц она возрастает с частотой от 0 до 10~15% (по мощности). С ростом мощности передатчика эта величина уменьшается. В ночной  $\mathfrak{D}$ -области потери излучения на частотах  $f > 3$  МГц определяются, в основном, не поглощением, а сферической расходимостью.

Ниже представлены результаты расчётов по описанной методике.

На рис. I приведены кривые температурной зависимости функций суммарной скорости потерь энергии электронов  $\Sigma(T) = \sum \frac{du_i}{dt}$  и относительной доли энергии, передаваемой нейтральным частицам при соударениях с электроном  $\delta(T) = \Sigma(T)/\dot{\nu}(T)$ . Кривые  $\Sigma(T)$  и  $\delta(T)$  на рис. I относятся к высоте 90 км. Изменения функции  $\delta(T)$  в пределах высот  $\mathfrak{D}$ -области незначительны.

Рис. 2-9 иллюстрируют дневные высотные изменения температуры  $\Delta T/T_0$ , коэффициента поглощения  $\mathfrak{Z}$  и концентрации электронов  $\Delta N/N_0$  для разных рабочих частот при пяти значениях эффективной мощности передатчика. Кривые  $\Delta N/N_0$  (рис. 2B~9B) соответствуют нагреву в течение двух минут.

На рис. 10-17, относящихся к ночной модели, представлены высотные изменения температуры  $\Delta T/T_0$ , коэффициента поглощения  $\mathfrak{Z}$  и частоты соударений электронов с молекулами  $\dot{\nu}/\dot{\nu}_0$ .

Значения рабочих частот и эффективных мощностей обозначены на рис. 2A~7A. Кривым I-5 на рис. 2-17 соответствуют следующие значения мощностей передатчика:  $W_0 = I, 10, 50, 100, 300$  МВт.

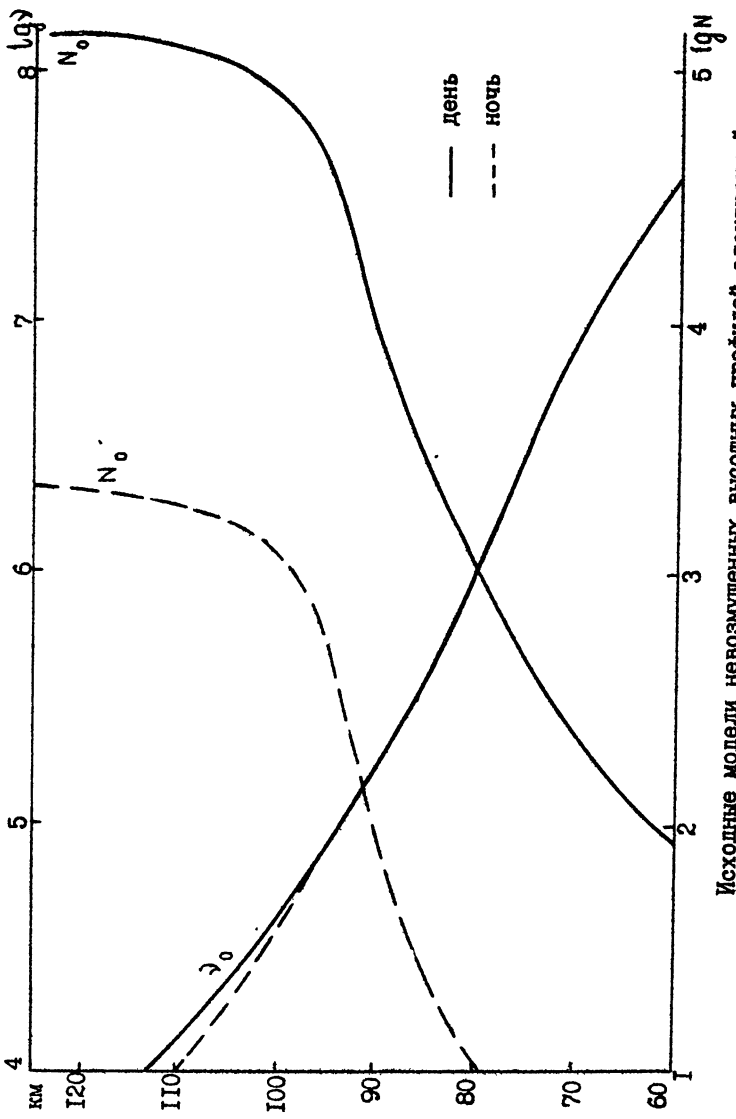
Рис. I8 - 25 иллюстрируют частотную зависимость<sup>+)</sup> относительных изменений температуры  $\Delta T/T_0$  и поля  $E/E_0$  на трёх фиксированных высотах при различных мощностях ( $W_0 = 10, 30, 100, 300 \text{ МВт}$ ). Значения  $W_0$  и высот, которым соответствуют приведённые кривые, обозначены на рис. I8a - 25a. Рис. I8 - 21 относятся к дневной модели, рис. 22 - 25 - к ночной модели. Частотная зависимость температуры и поля (рис. I8 - 25) получена из решения системы двух уравнений: (I), (2). На основании той же системы уравнений (I), (2) получены ночные высотные профили температуры, коэффициента поглощения и частоты соударений (рис. I0 - I?). Результаты, представленные на рис. 2 - 9 для дневной модели, получены путём решения самосогласованной системы трех уравнений: для поля, температуры и электронной концентрации.

### Л и т е р а т у р а

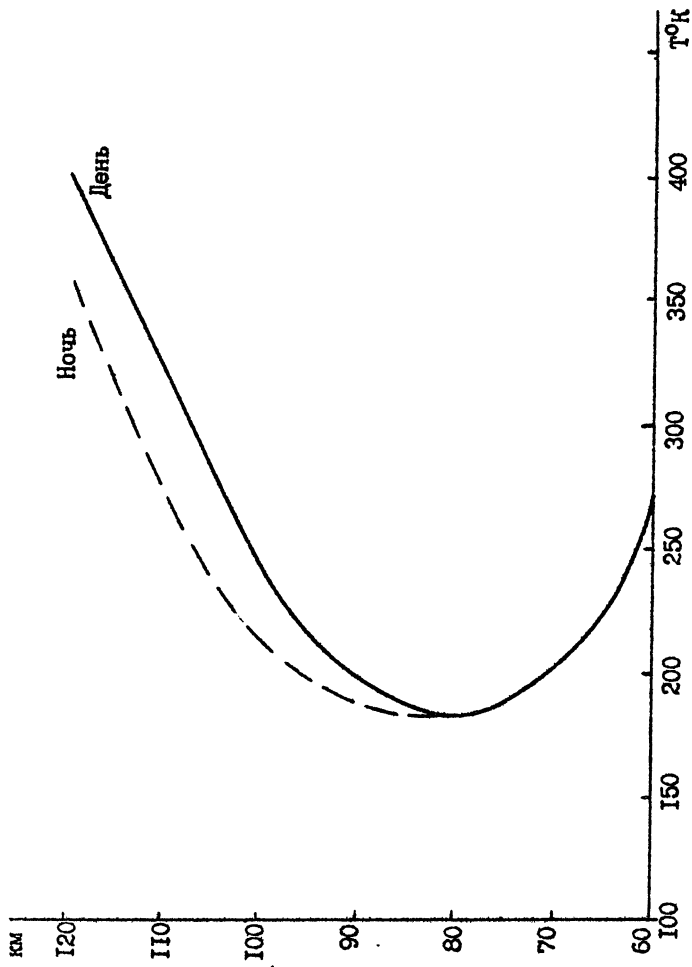
1. Гуревич А.В., Шварцбург А.Б. Нелинейная теория распространения радиоволн в ионосфере. - М.: Наука, 1973.
2. Кадомцев Б.Б. Коллективные явления в плазме. - М.: Наука, 1976.
3. Гинзбург В.Л. Распространение электромагнитных волн в плазме. - М.: Наука, 1967.
4. Далгарно А. Неупругие столкновения при низких энергиях. - В сб.: Лабораторные исследования аэрономических реакций. - Л.: Гидрометеоиздат, 1970.
5. Гуревич А.В., Милих Г.М., Шлогер И.С. - ЖЭТФ, 1975, № II, 69, 1640.
6. Гуревич А.В., Милих Г.М., Шлогер И.С. - Изв. вузов - Радиофизика, 1977, т. 20, № 12, с. 1790.
7. Иткина М.А., Кротова З.Н. - Изв. вузов - Радиофизика, 1981, т. 24, № 4, с. 415.
8. Иткина М.А. Диссертация. Горький, 1978.
9. Tomko A.A., Ferraro A.J., Lee H.S., Mitra A.P.-J. Atm. Terr. Phys., v. 42, N3, p. 275, 1980.
10. Tomko A.A., Ferraro A.J., Lee H.S.-Radio Sci., 1980, v. 15, N3, p. 675-682.

Дата поступления статьи  
3 января 1983 г.  
после доработки  
16 августа 1983 г.

<sup>+)</sup> Представленные кривые относятся к необыкновенным компонентам частот декаметрового диапазона.



Исходные модели невозмущенных высотных профилей электронной концентрации и частоты соударений



Исходные модели температуры нейтралов

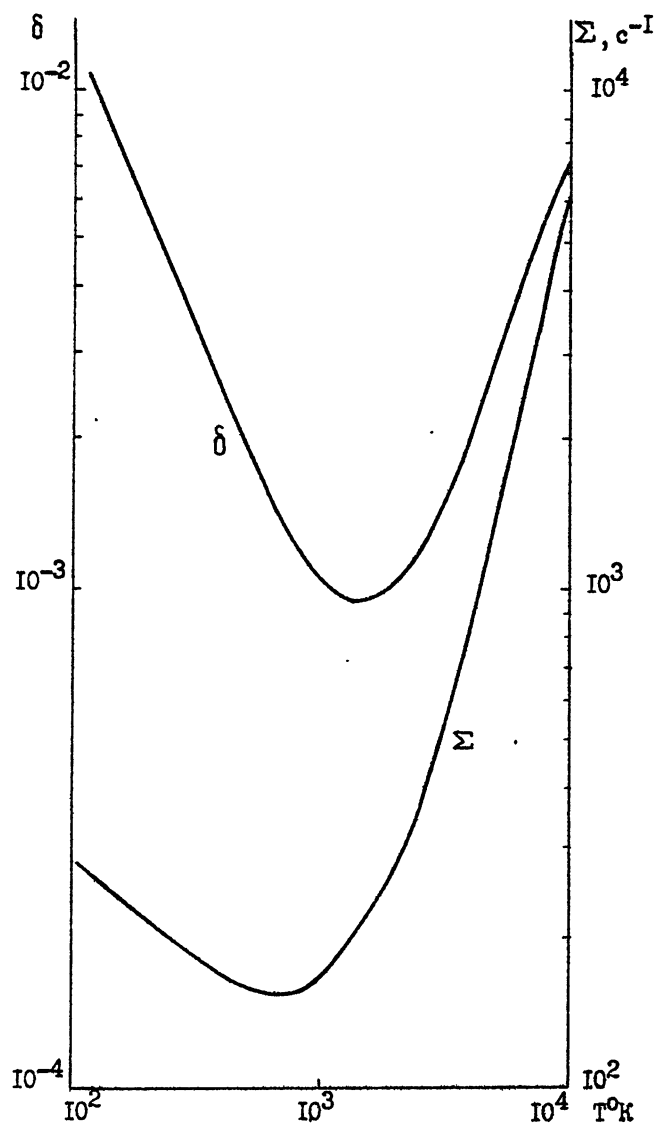


Рис. I

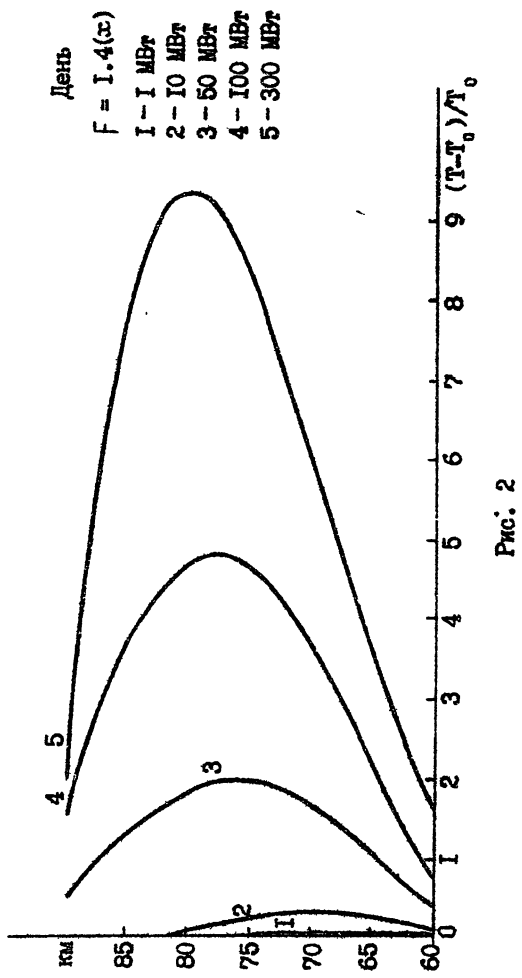


Рис. 2

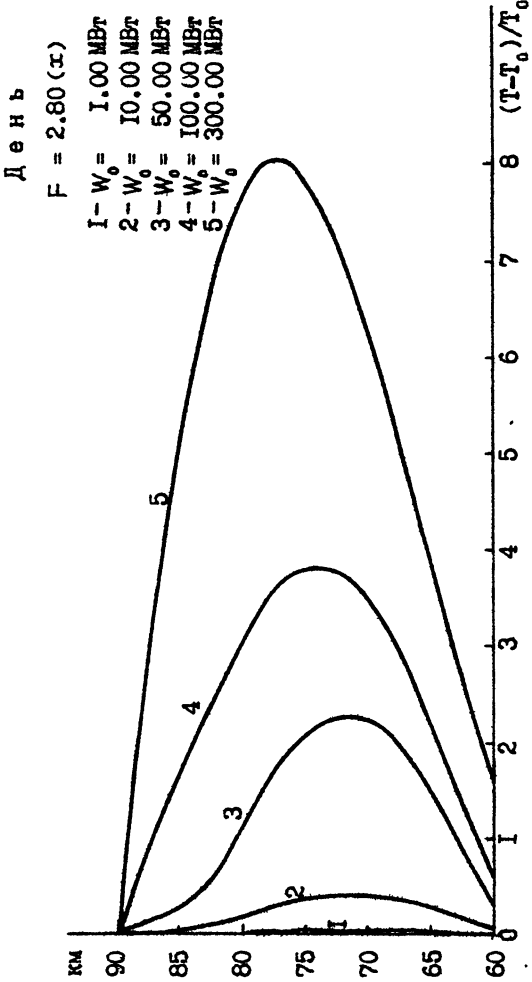


Рис. 3 а

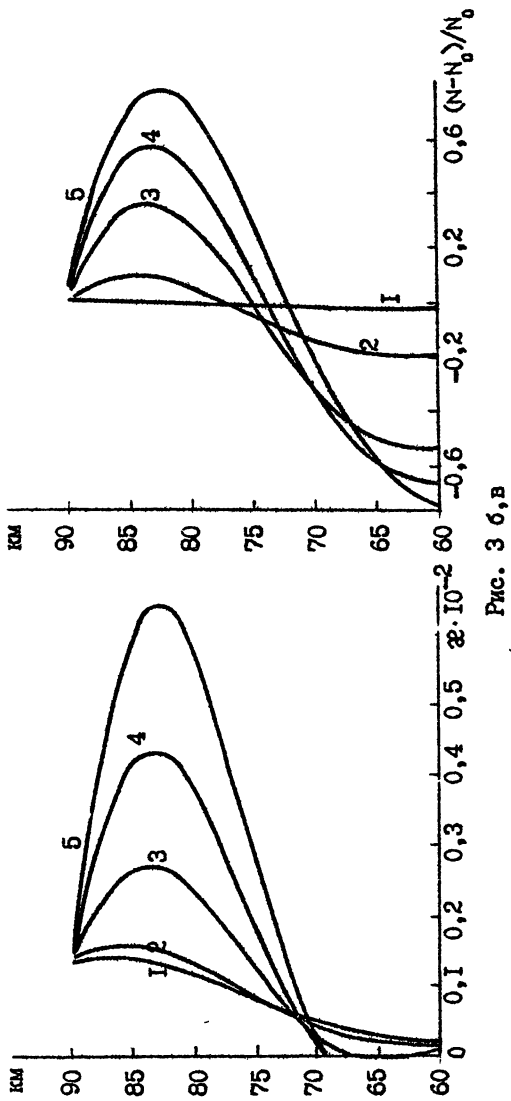
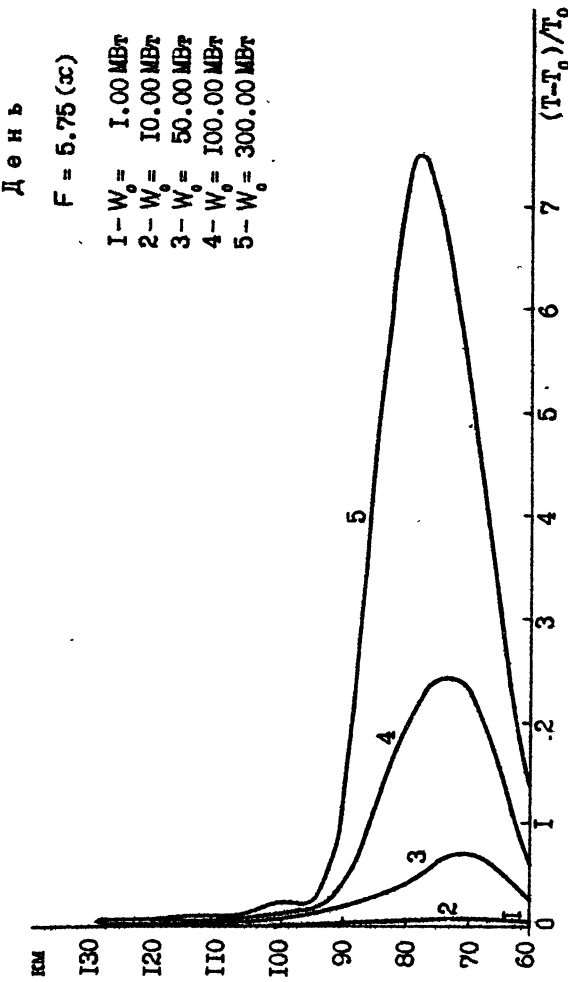


Рис. 3 б, в

Рис. 4 а



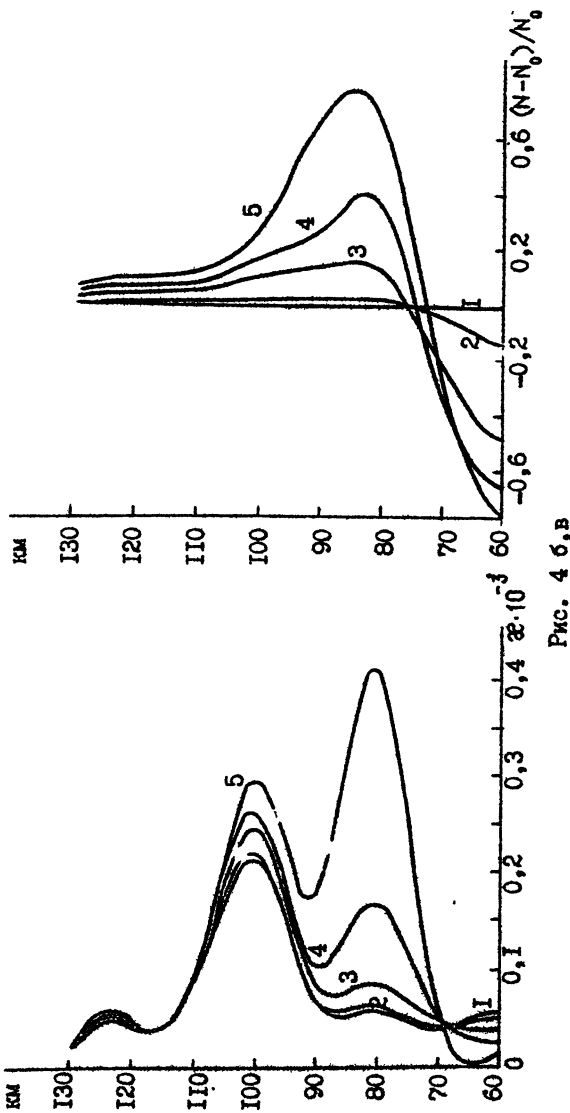


Рис. 4 б, в

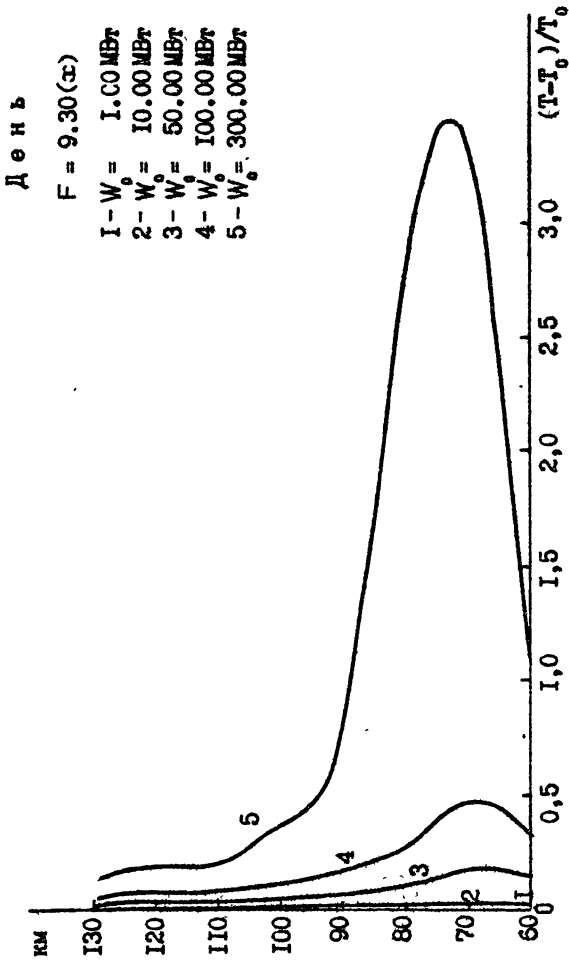


Рис. 5 а.

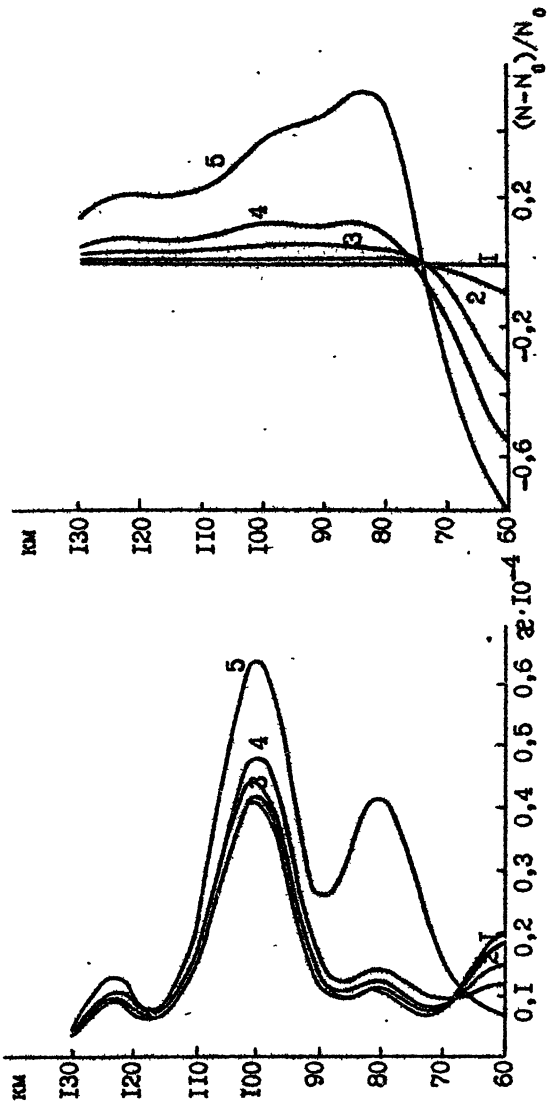


Рис. 6 б, в

Д е н ь

$$F = 1.40 \text{ (0)}$$

$$1 - W_0 = 1.00 \text{ МВт}$$

$$2 - W_0 = 10.00 \text{ МВт}$$

$$3 - W_0 = 50.00 \text{ МВт}$$

$$4 - W_0 = 100.00 \text{ МВт}$$

$$5 - W_0 = 300.00 \text{ МВт}$$

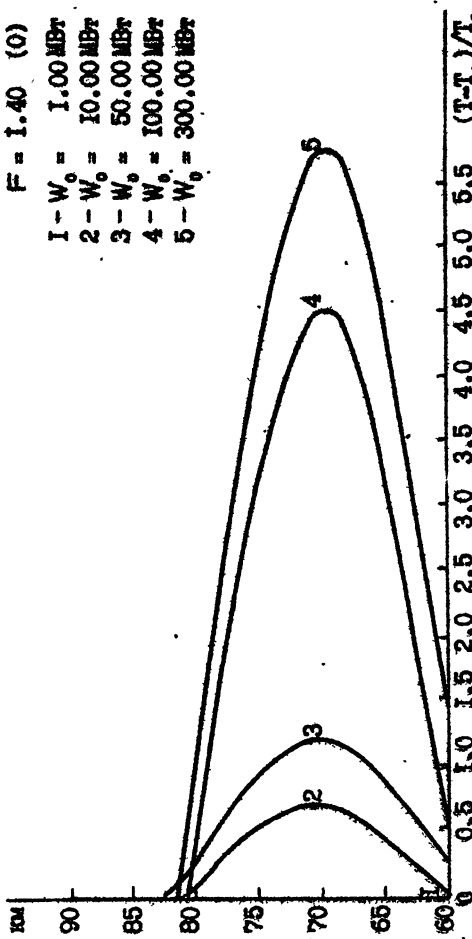


Рис. 6

Д е н ь

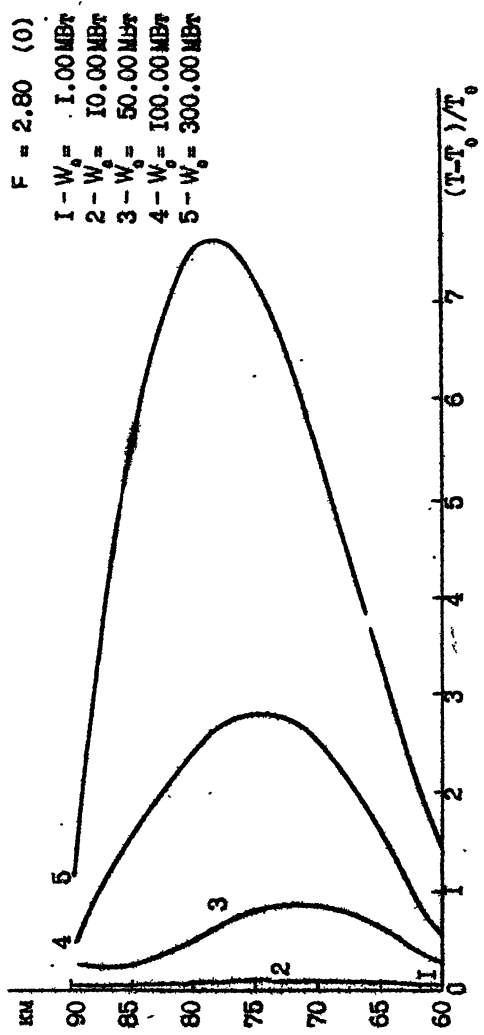
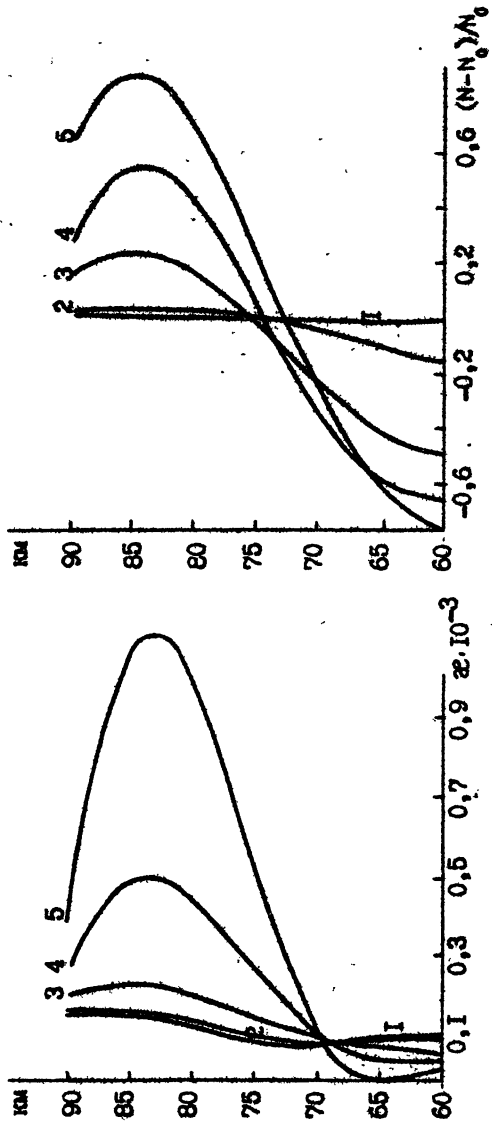


Рис. 7 а

Рис. 7  $\delta_B$



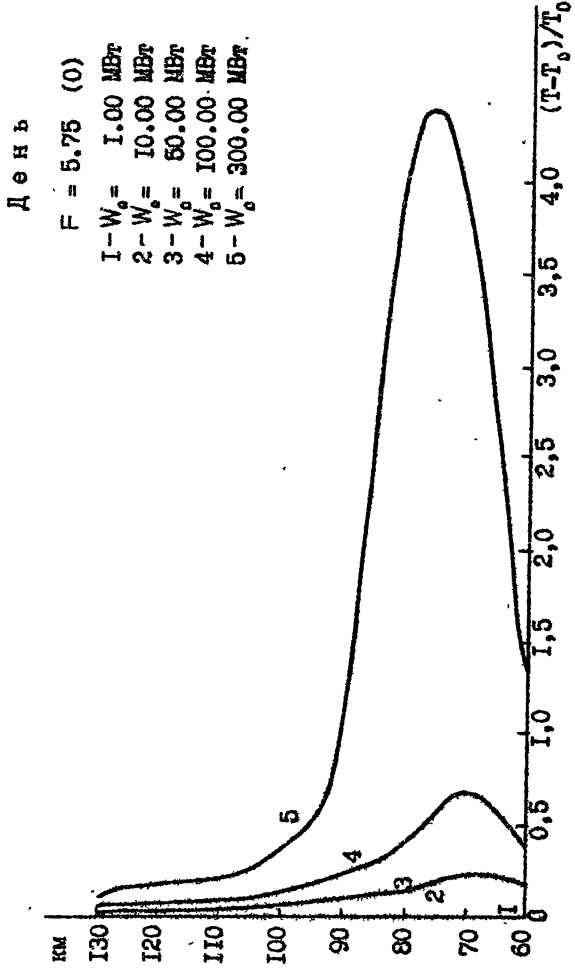


Рис. 8 а

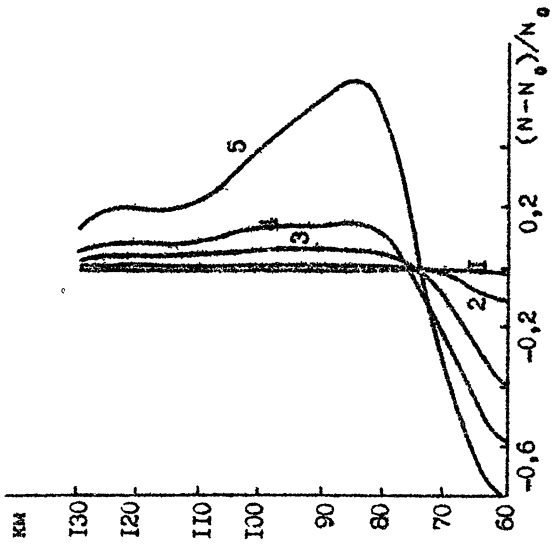
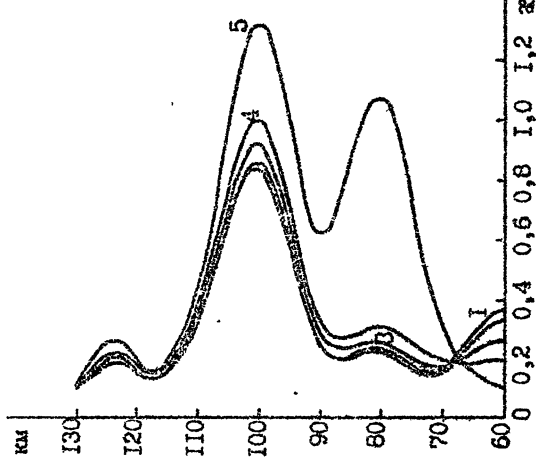


Fig. 8 6, b



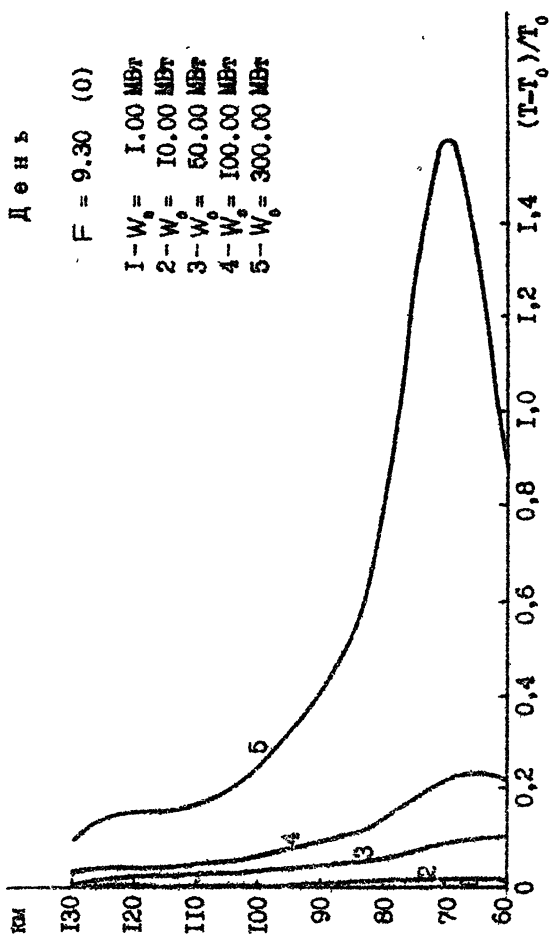


Рис. 9а

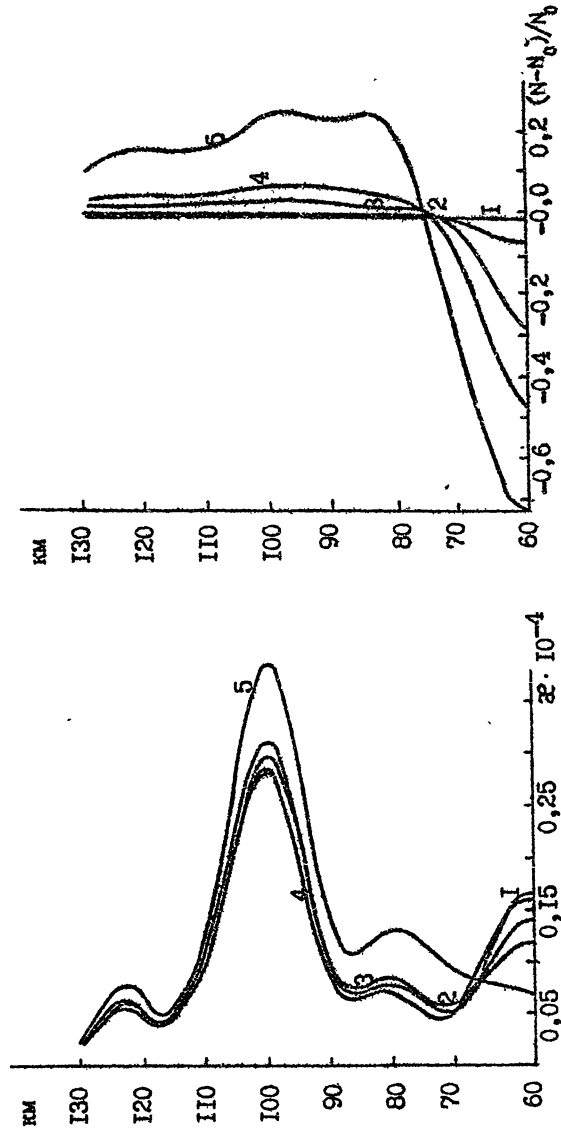
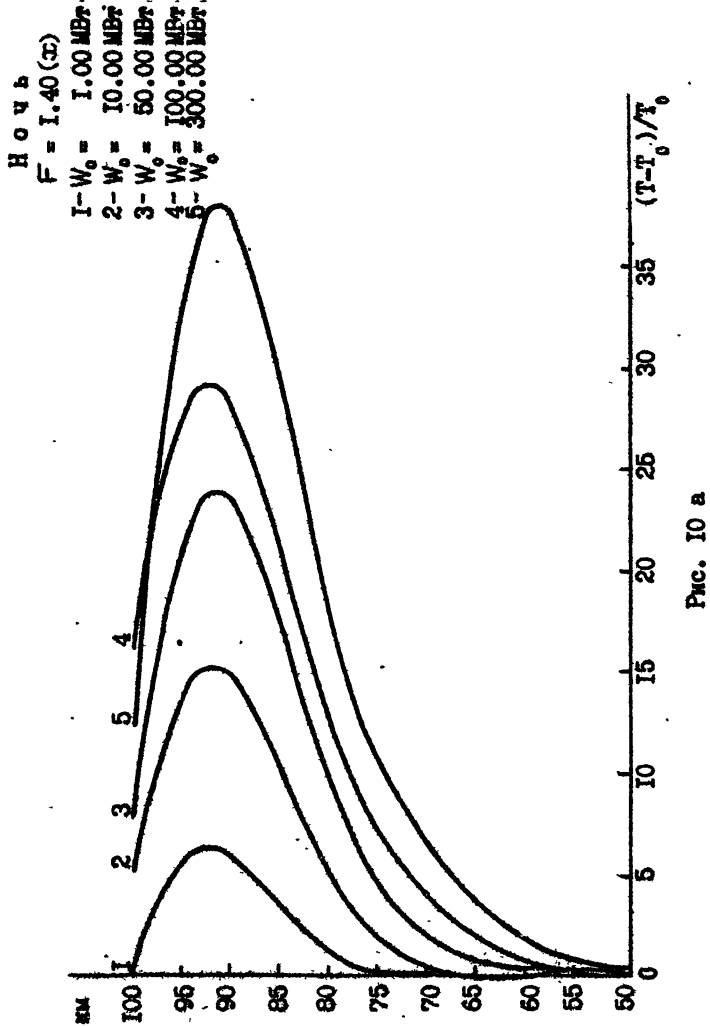
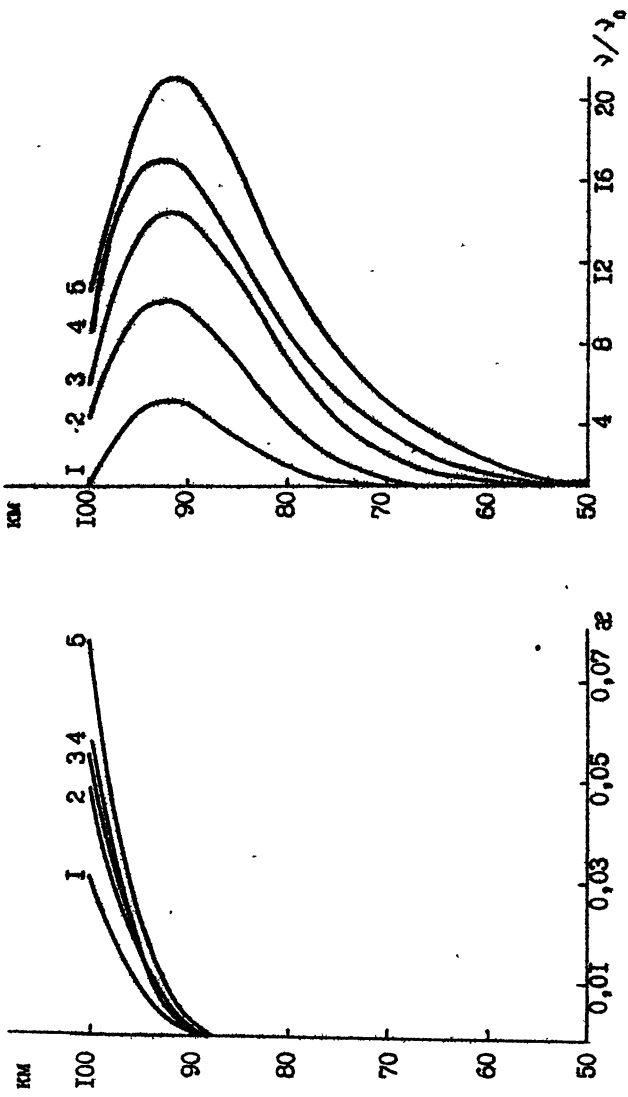


Рис. 96, в





Н о 4 б

$F = 2.80 (x)$

- 1- $W_0 = 1.00 \text{ MPa}$
- 2- $W_0 = 10.00 \text{ MPa}$
- 3- $W_0 = 50.00 \text{ MPa}$
- 4- $W_0 = 100.00 \text{ MPa}$
- 5- $W_0 = 300.00 \text{ MPa}$

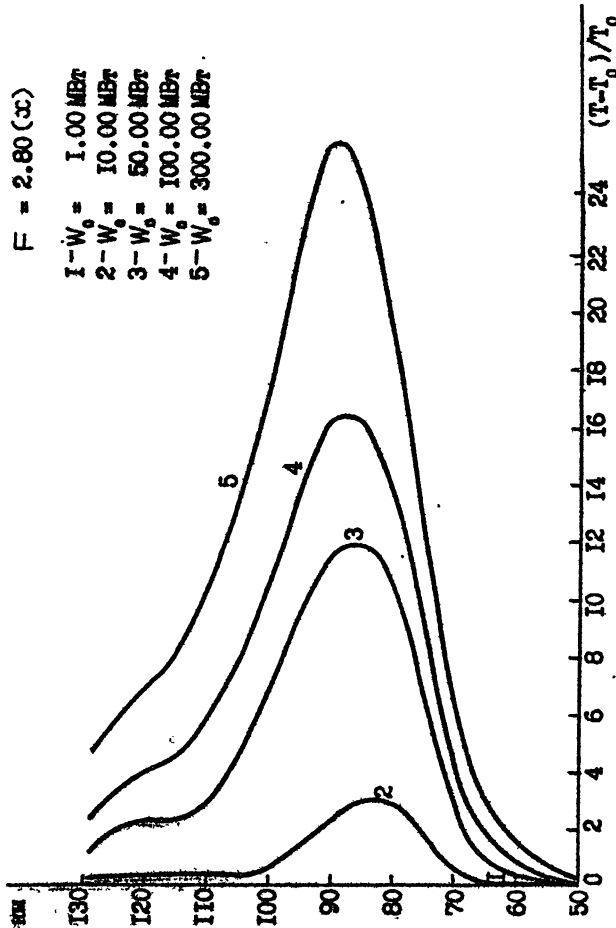
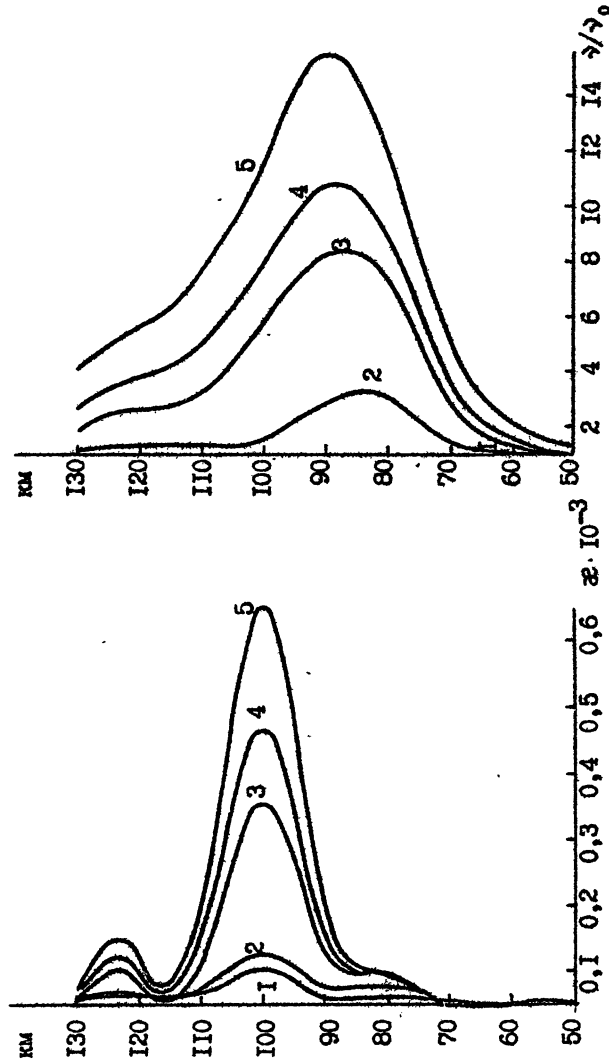


Рис. II а

Рис. II 6,в



Н о ч ь

$$F = 5.75(x)$$

- 1- $W_0 = 1.00 \text{ MBr}$
- 2- $W_0 = 10.00 \text{ MBr}$
- 3- $W_0 = 50.00 \text{ MBr}$
- 4- $W_0 = 100.00 \text{ MBr}$
- 5- $W_0 = 300.00 \text{ MBr}$

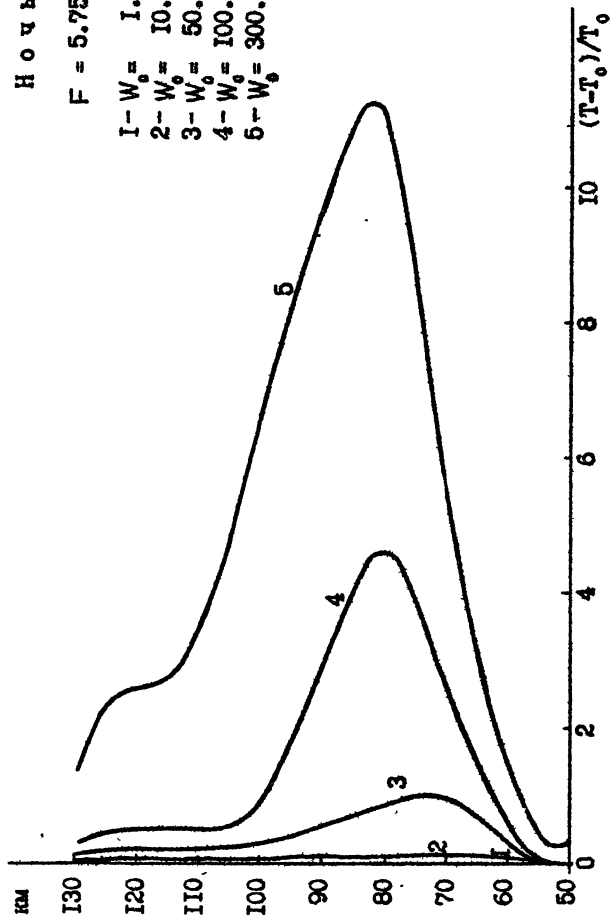


Рис. I2a

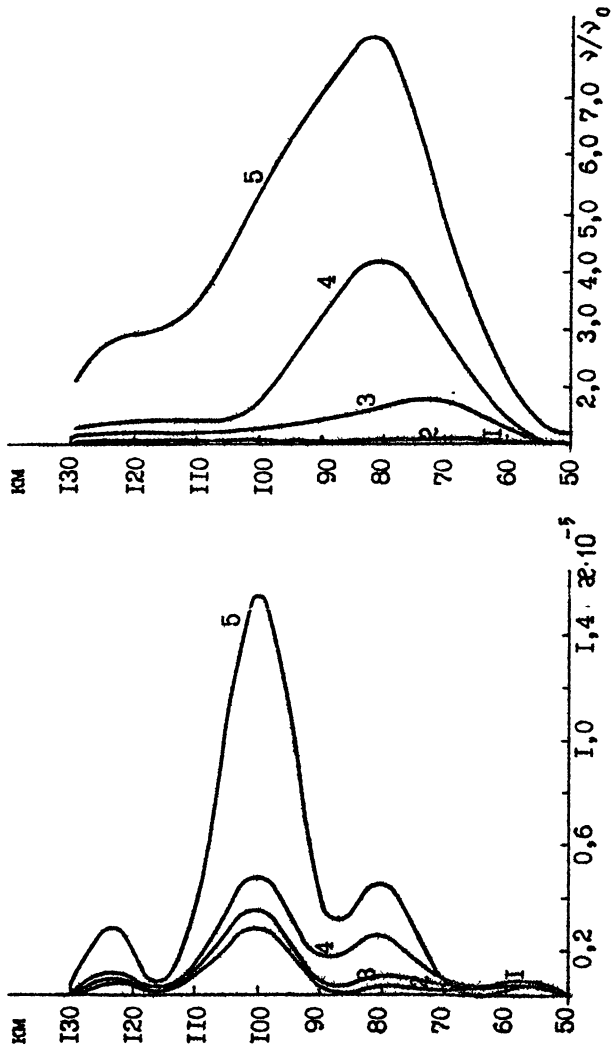


Рис. 126, в

Н о в ь

$F = 9.30(x)$

- 1-  $W_0 = 1.00 \text{ MBT}$
- 2-  $W_0 = 10.00 \text{ MBT}$
- 3-  $W_0 = 50.00 \text{ MBT}$
- 4-  $W_0 = 100.00 \text{ MBT}$
- 5-  $W_0 = 300.00 \text{ MBT}$

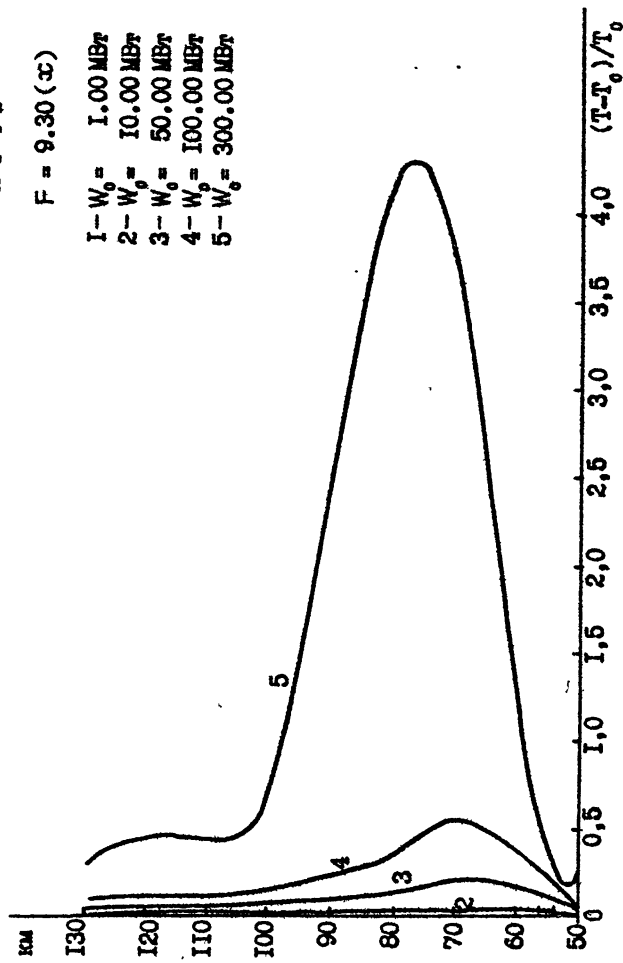


Рис. 13 а

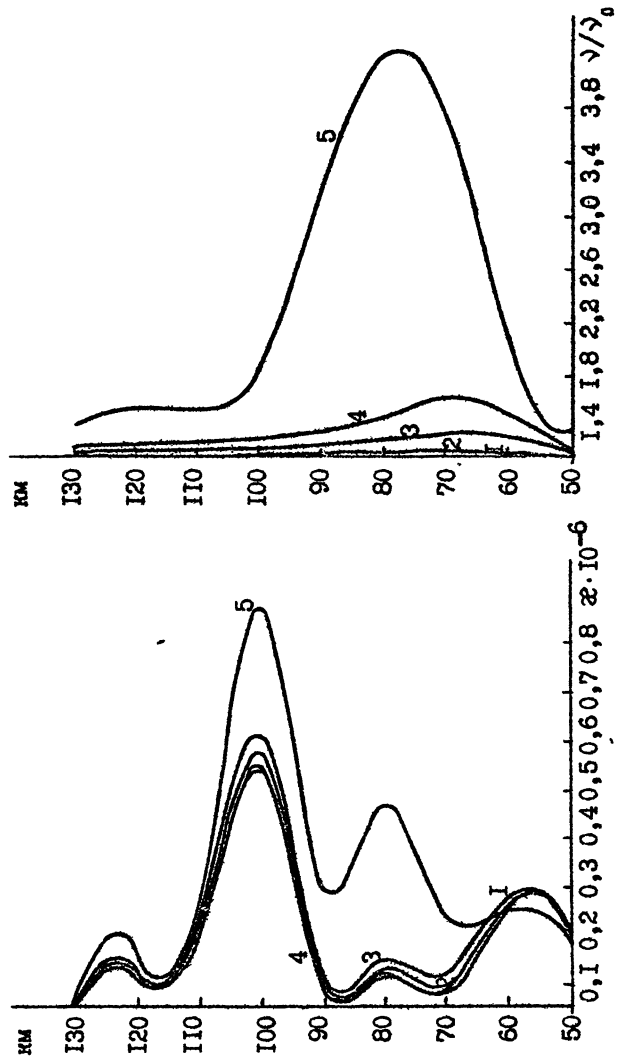


Рис. I36, В

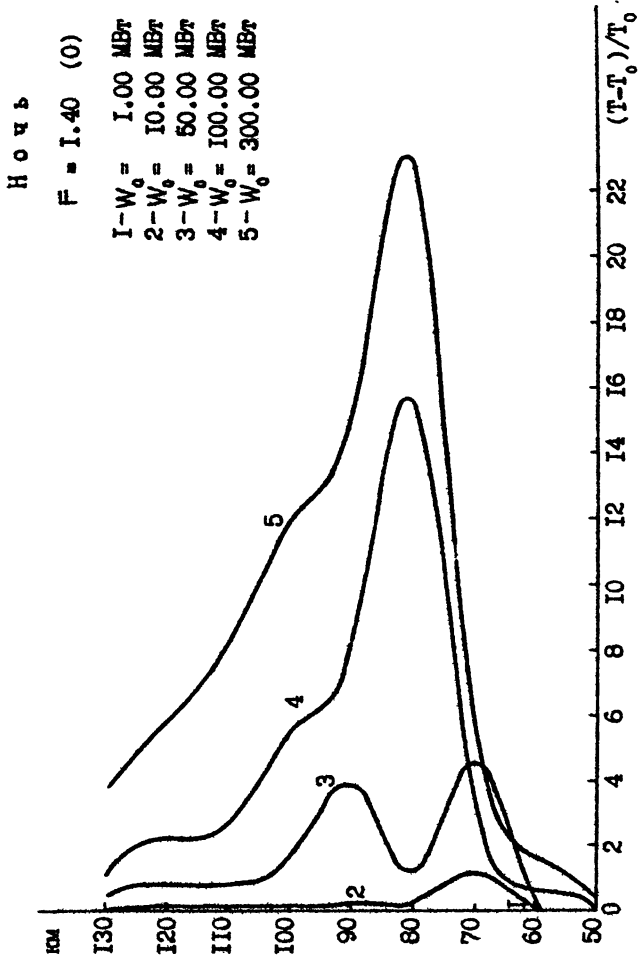
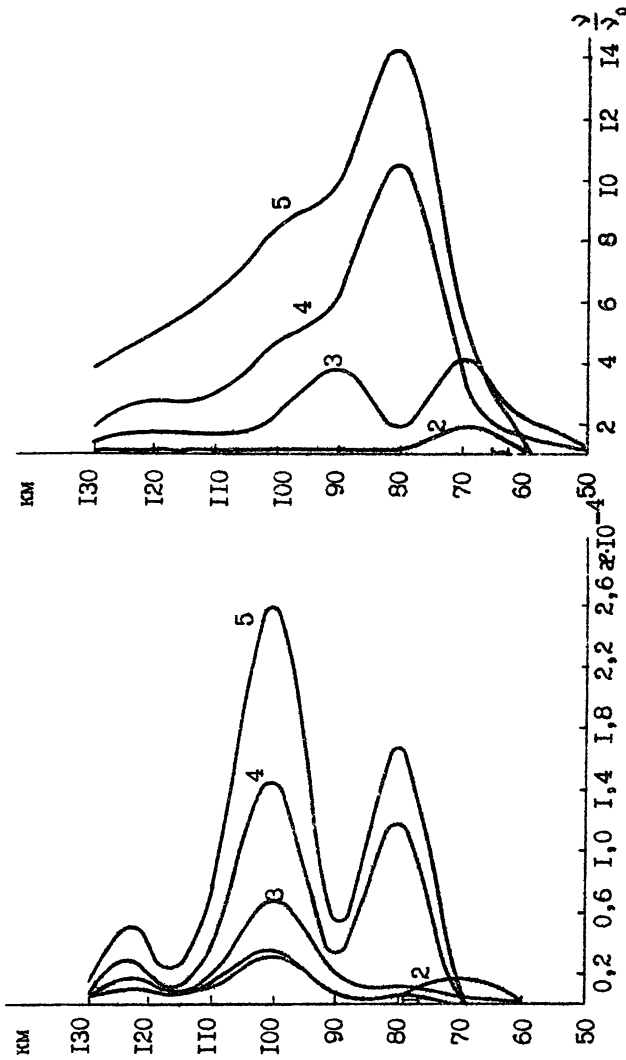


Fig. I4 a

FIG. I4 6, B



Ночь

$$F = 2.80 \quad (0)$$

- 1- $W_0 = 1.00 \text{ MBT}$
- 2- $W_0 = 10.00 \text{ MBT}$
- 3- $W_0 = 50.00 \text{ MBT}$
- 4- $W_0 = 100.00 \text{ MBT}$
- 5- $W_0 = 300.00 \text{ MBT}$

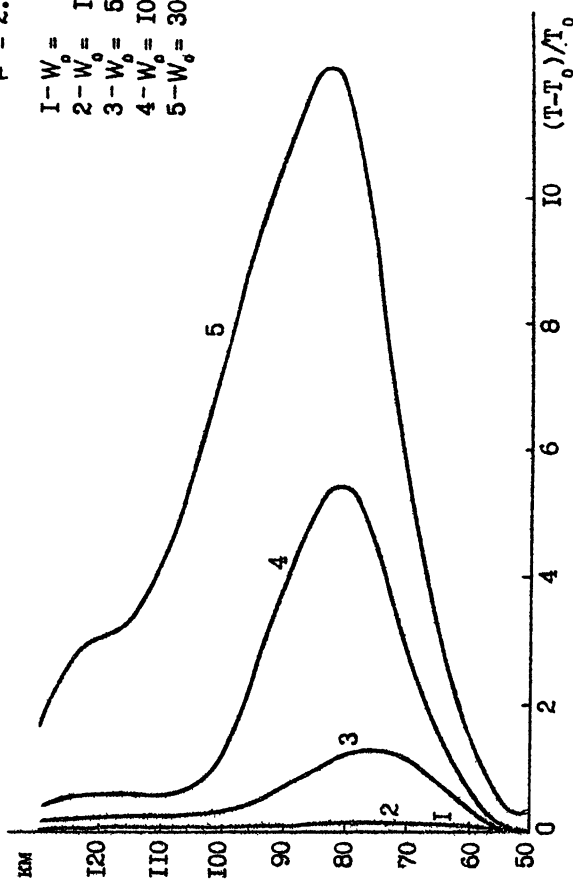


Рис. I5а

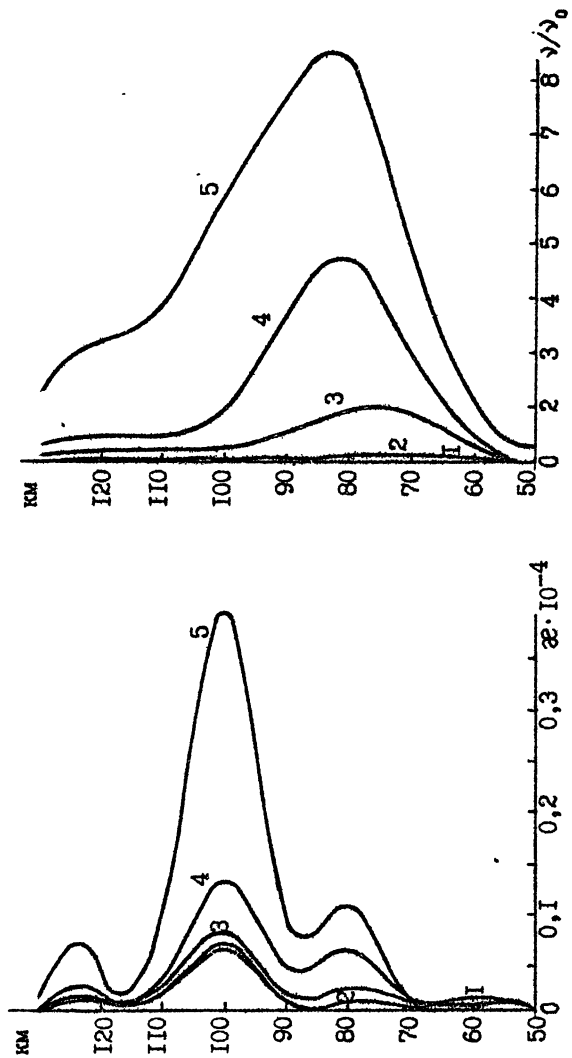


Рис. I5б,в

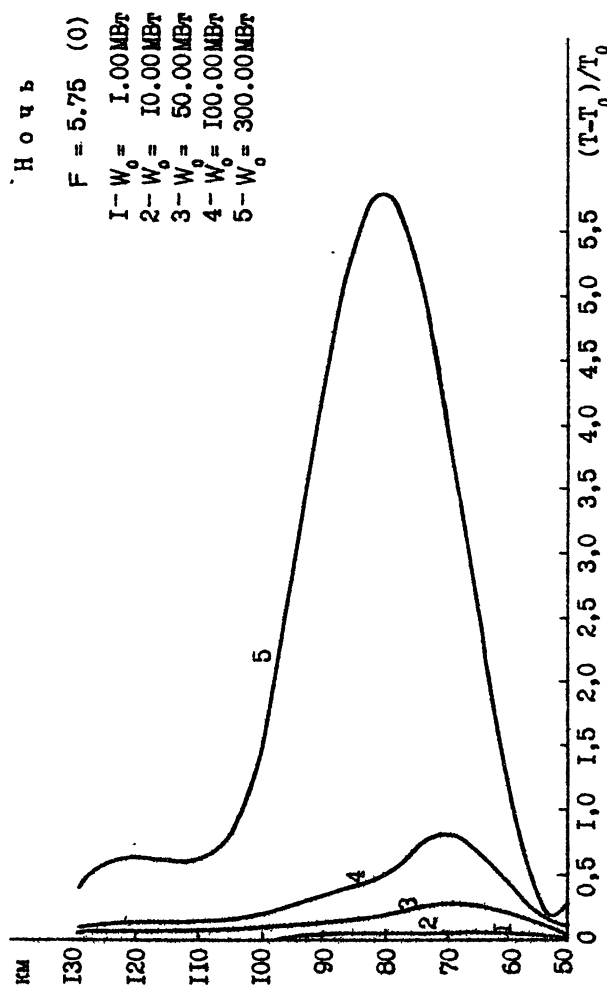
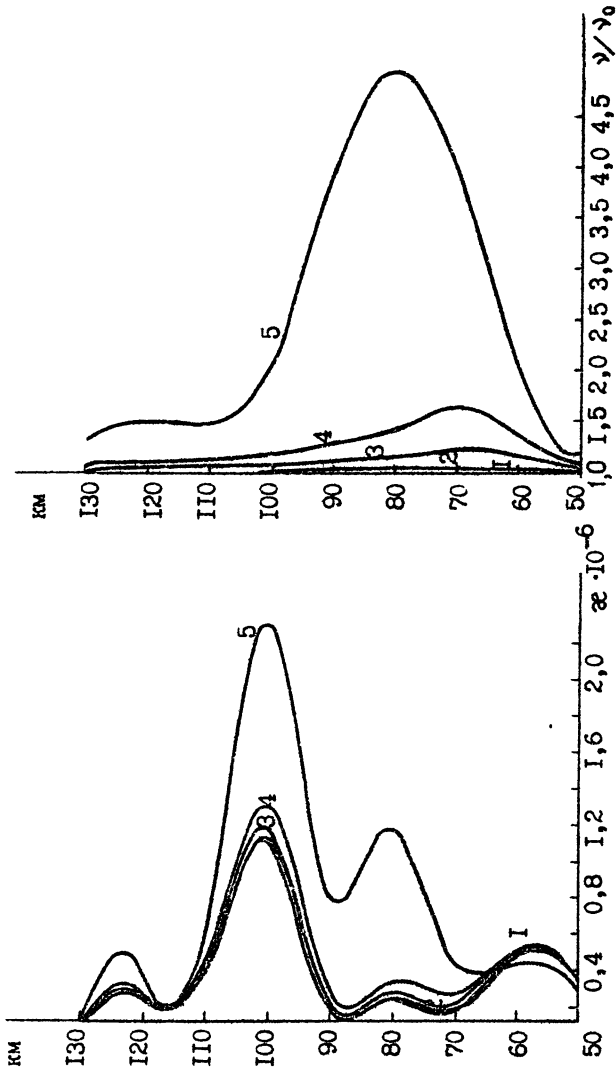


Рис. 16 а

Рис. 16 б, в



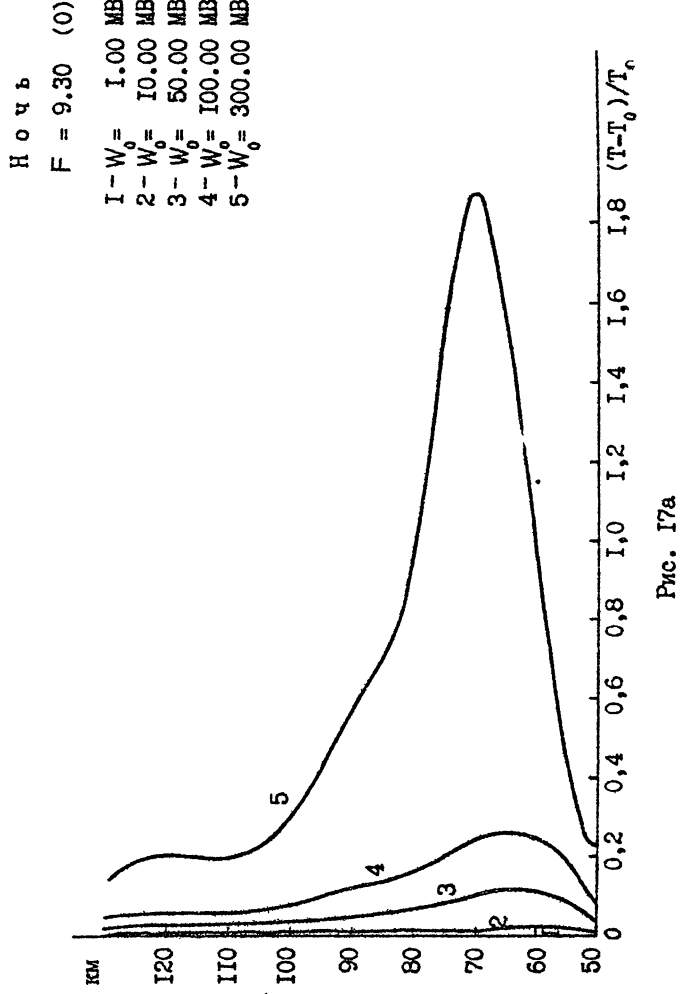


Рис. 17а

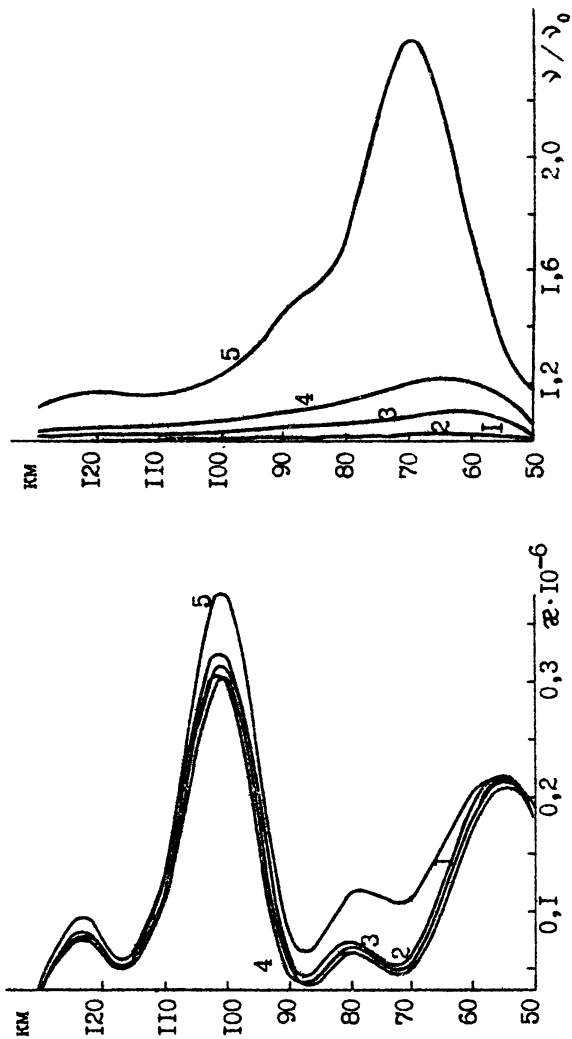


Рис. I7б,в

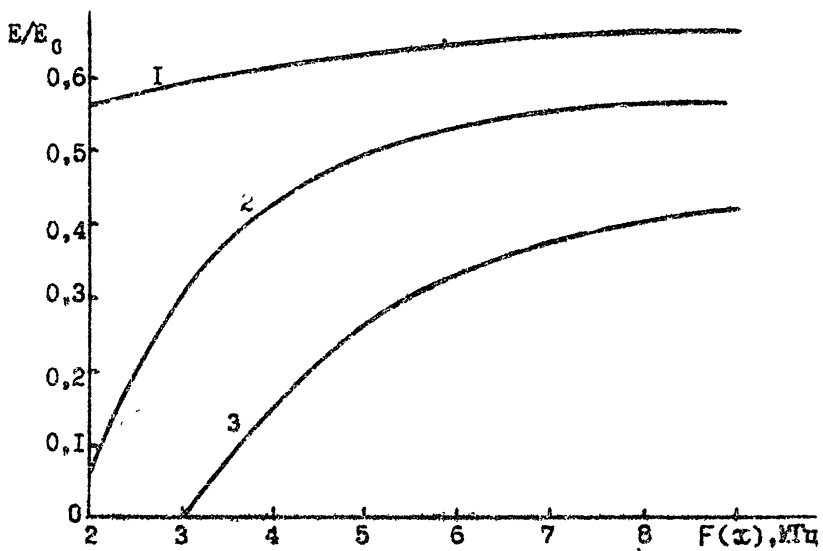
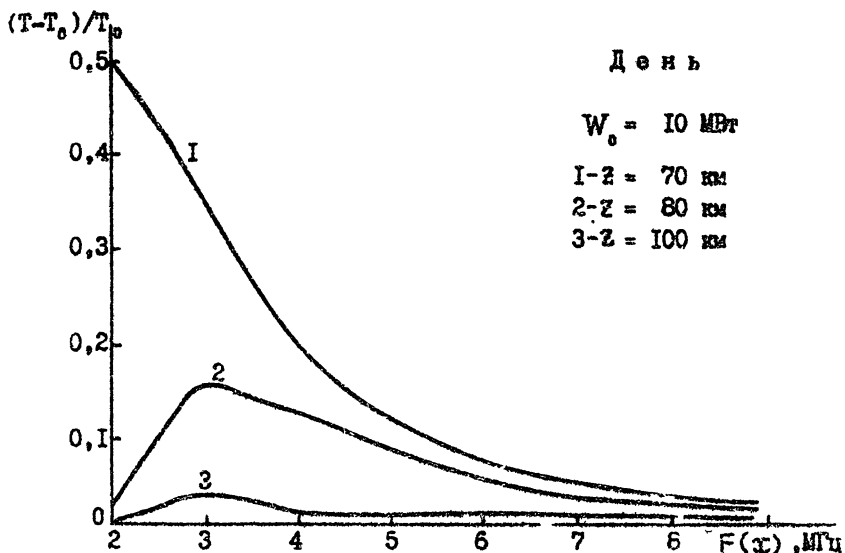


Рис. IVа,б

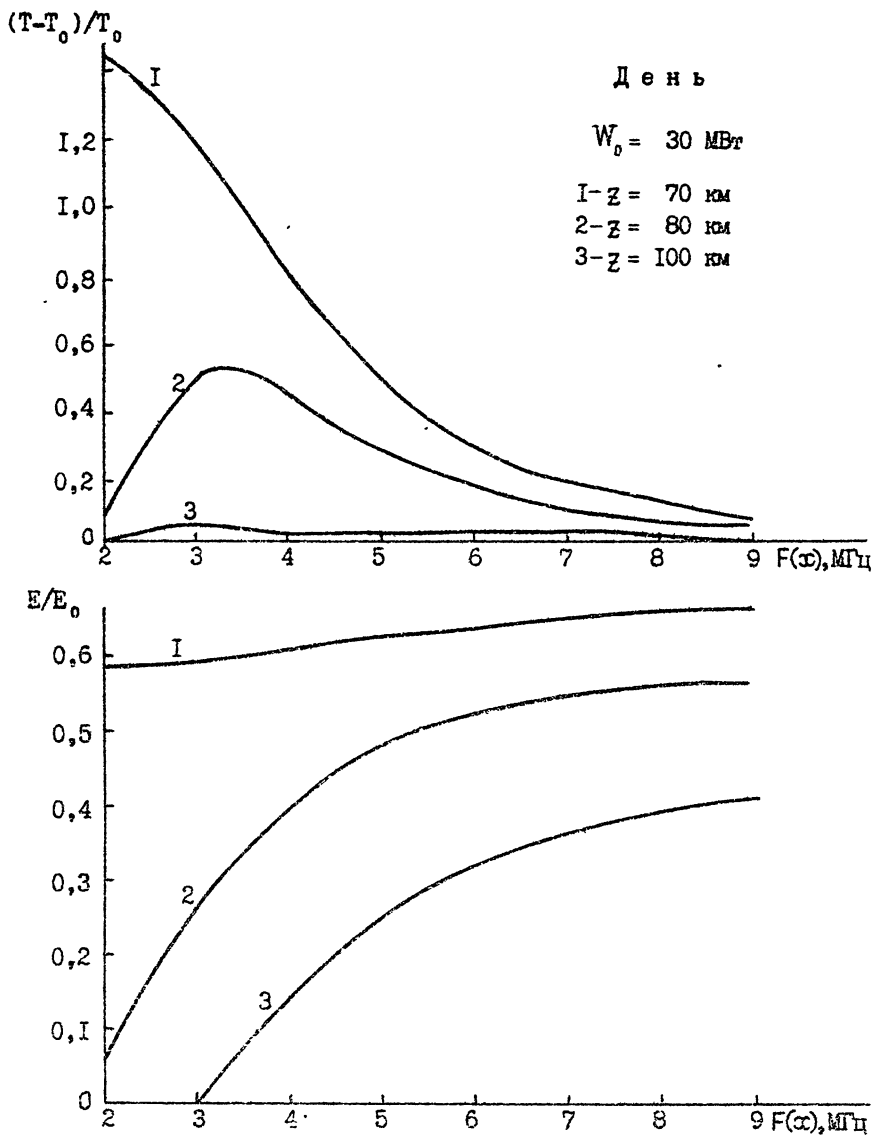


Рис. I9а,б

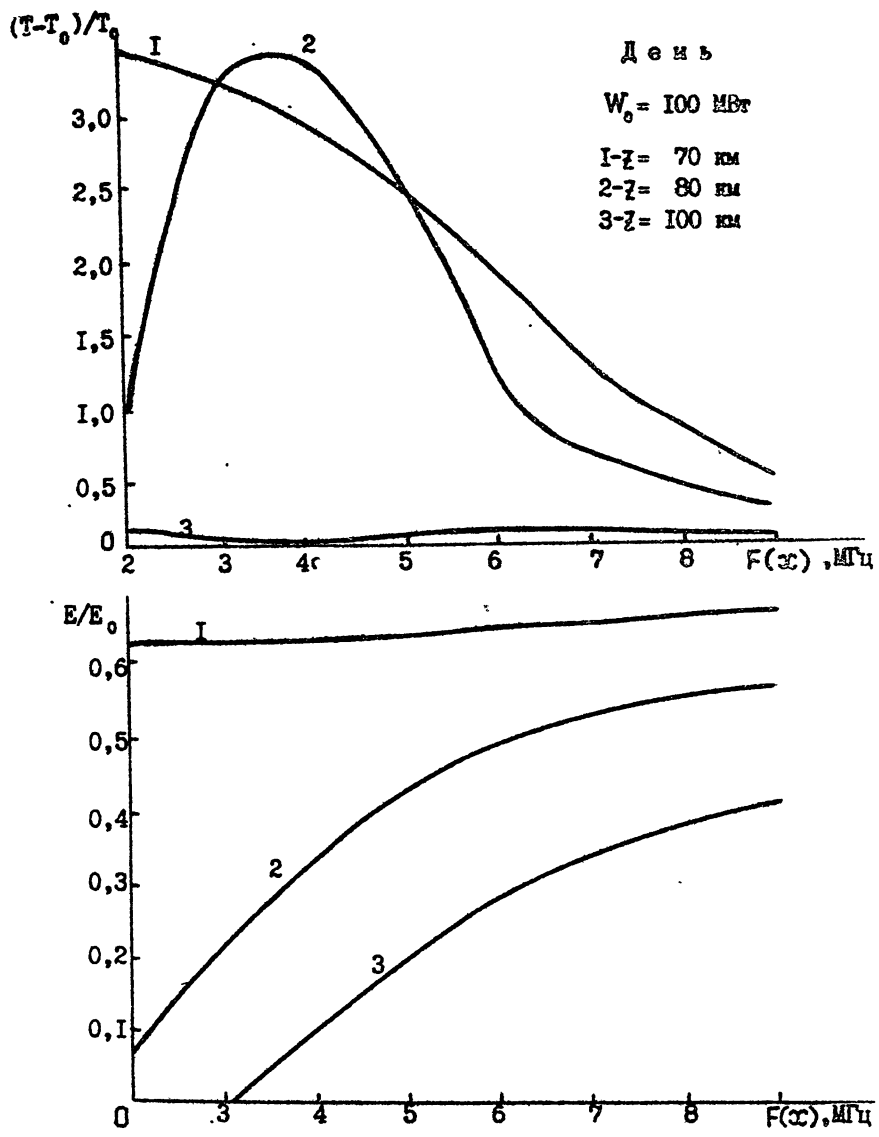


Рис. 20а,б

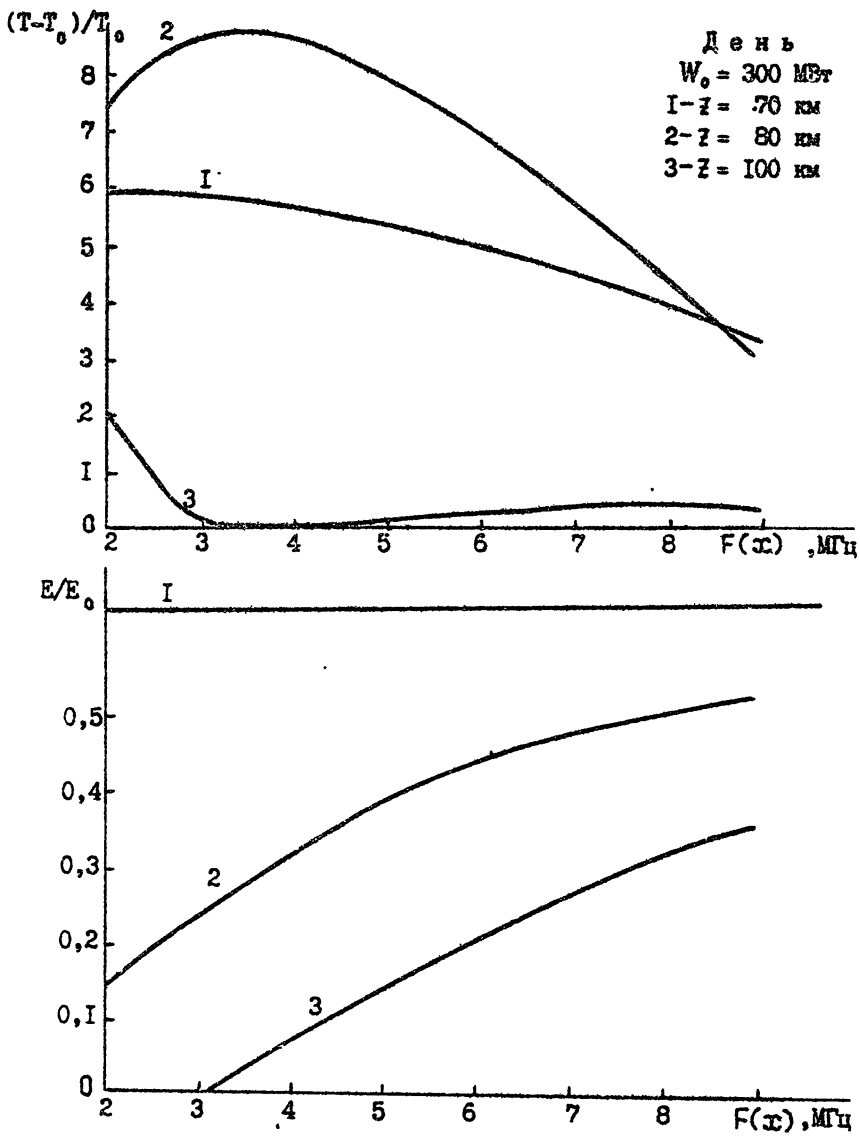


Рис. 2а,б

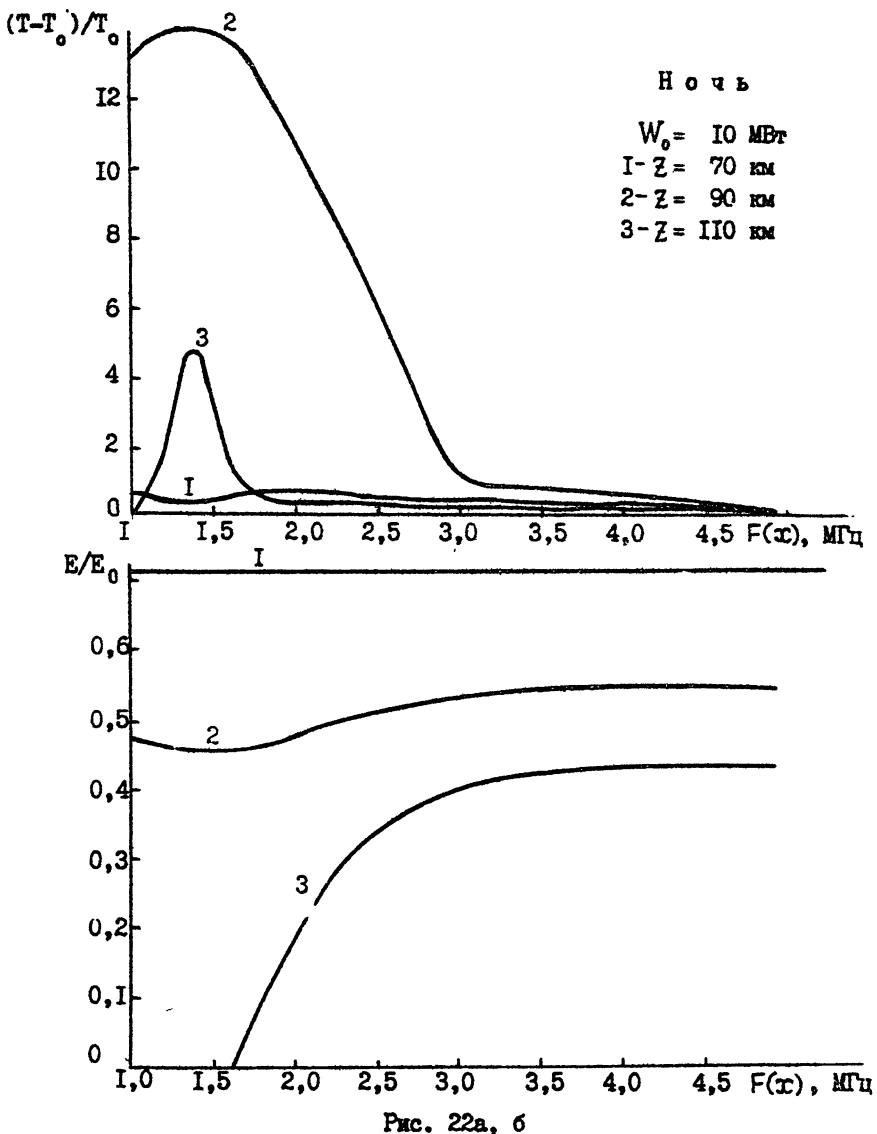


Рис. 22а, б

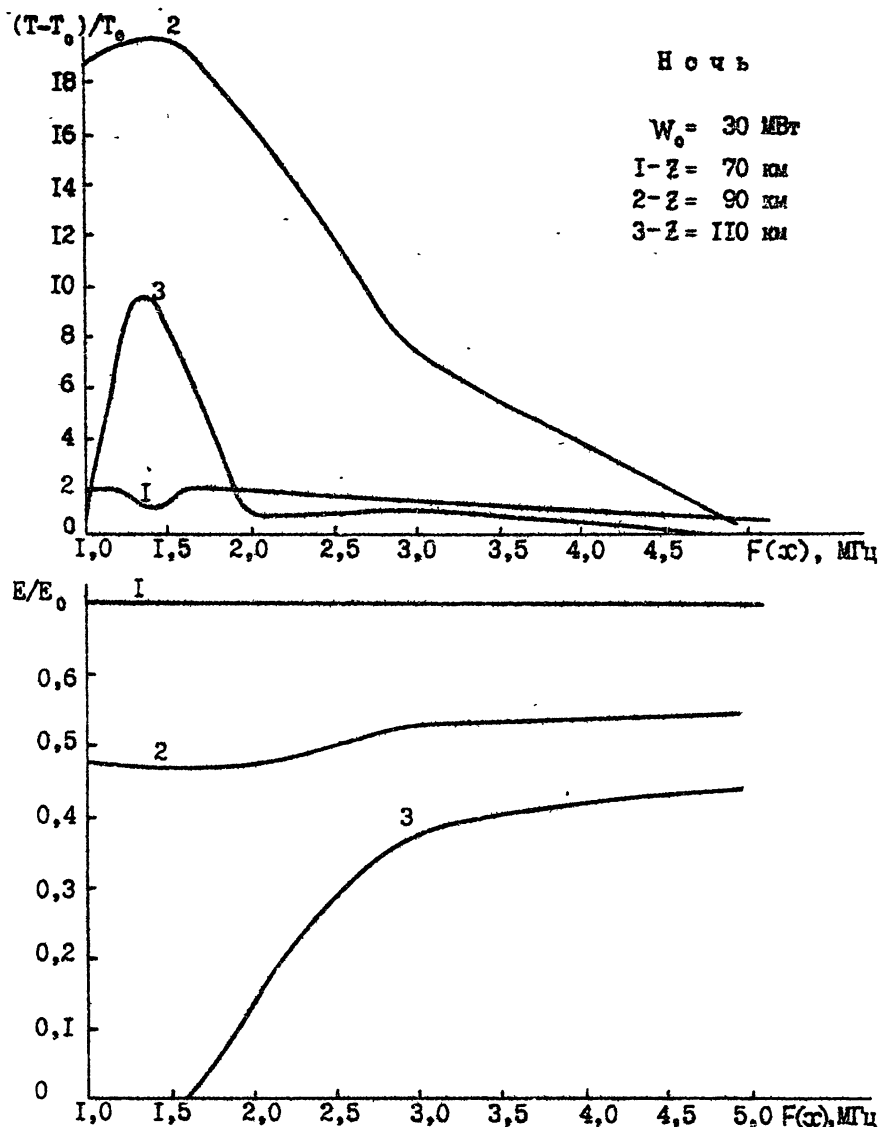


Рис. 23а, б

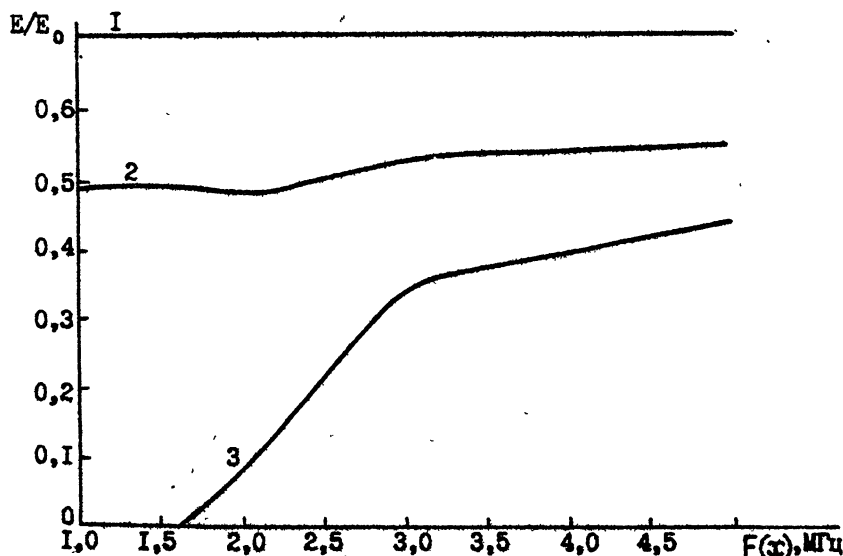
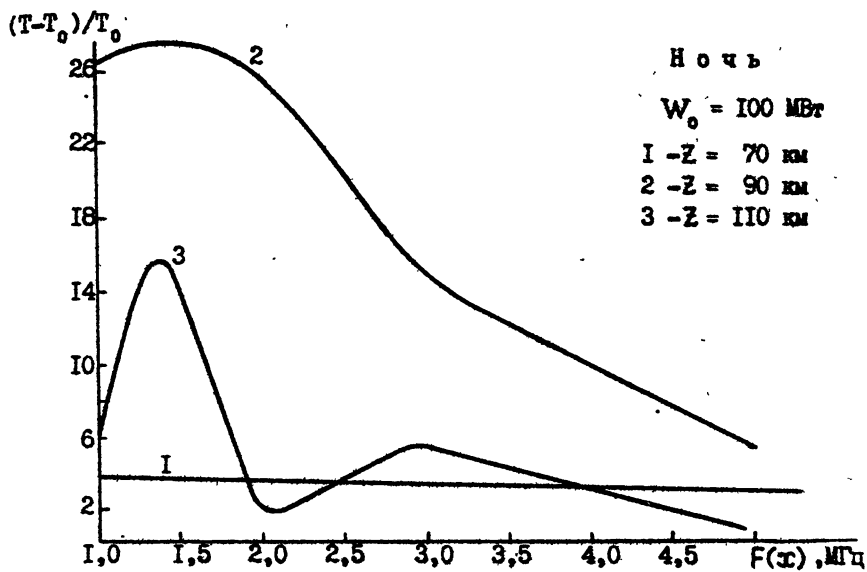


Рис. 24а,б

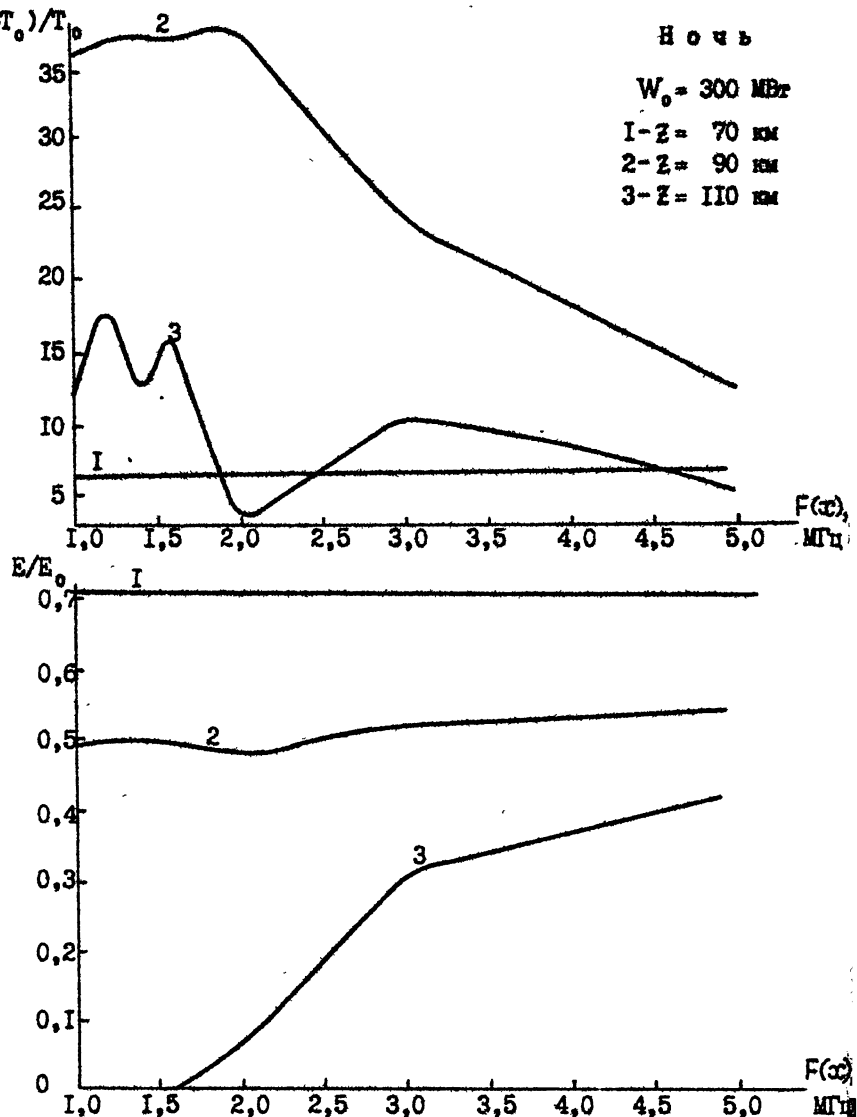


Рис. 25а,б

Маргарита Абрамовна Иткина  
Дмитрий Самойлович Котик  
Зоя Николаевна Кротова  
Сергей Владимирович Поляков  
Виктор Овсеевич Рапопорт

НАГРЕВ НИЖНЕЙ ИОНОСФЕРЫ  
КОРОТКОВОЛНОВЫМ РАДИОИЗЛУЧЕНИЕМ

---

Подписано в печать 18.11.83 г. МЦ 00422. Формат 60x84/16  
Бумага писчая. Печать офсетная. Объем 3,02 усл. печ. л.  
Тираж 120, Заказ 2916. Бесплатно.

---

Отпечатано на ротапринте Горьковского научно-исследова-  
тельского радиофизического института, 603600 Горький  
ГСП-51, ул. Лядова 25/14, т. 98-90-91, д. 5-09.